

6. How many digits are there in 3^{16} when it is expressed in the decimal form?

1. Three
2. Six
3. Seven
4. Eight

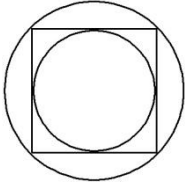
7. x - y निर्देशांक समतल पर खींचा गया एक वृत्त उद्गम से गुजरता है, x तथा y और अक्ष पर लम्बाइयां क्रमशः 8 और 7 के जीवा रखता है। इस वृत्त के केंद्र के निर्देशांक हैं

1. (8, 7)
2. (-8, 7)
3. (-4, 3.5)
4. (4, 3.5)

7. A circle drawn in the x - y coordinate plane passes through the origin and has chords of lengths 8 units and 7 units on the x and y axes, respectively. The coordinates of its centre are

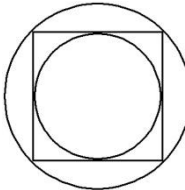
1. (8, 7)
2. (-8, 7)
3. (-4, 3.5)
4. (4, 3.5)

8. चित्र में दर्शाये अनुसार एक वर्ग के अंदर तथा बाहर एक-एक वृत्त बनाया गया है। बाह्य वृत्त के क्षेत्रफल और आंतर वृत्त के क्षेत्रफल का अनुपात क्या है ?



1. $\sqrt{2}$
2. 2
3. $2\sqrt{2}$
4. $\sqrt{3/2}$

8. There is an inner circle and an outer circle around a square. What is the ratio of the area of the outer circle to that of the inner circle?



1. $\sqrt{2}$
2. 2
3. $2\sqrt{2}$
4. $\sqrt{3/2}$

9. एक गिलास के पेंदे का व्यास उस के किनारे के व्यास से 20% छोटा है। गिलास को आधी ऊँचाई तक द्रव भर दिया गया है। गिलास के खाली आयतन का भरे आयतन से अनुपात है

1. $\frac{\sqrt{10} - \sqrt{9}}{\sqrt{9} - \sqrt{8}}$
2. $\frac{10 - 9}{9 - 8}$
3. $\frac{10^2 - 9^2}{9 - 8}$
4. $\frac{10^3 - 9^3}{9^3 - 8^3}$

9. The base diameter of a glass is 20% smaller than the diameter at the rim. The glass is filled to half the height. The ratio of empty to filled volume of the glass is

1. $\frac{\sqrt{10} - \sqrt{9}}{\sqrt{9} - \sqrt{8}}$
2. $\frac{10 - 9}{9 - 8}$
3. $\frac{10^2 - 9^2}{9 - 8}$
4. $\frac{10^3 - 9^3}{9^3 - 8^3}$

10. एक दुपहिया ठेले को एक अर्धवृत्ताकार पथ पर चलाया जा रहा है। पथ की औसत त्रिज्या 10मी. है, तथा पहियों के बीच का फासला एक मीटर है। ठेले के दो पहियों द्वारा पारित दूरी में अंतर है

1. 0
2. 10
3. π
4. 2π

10. A wheel barrow with unit spacing between its wheels is pushed along a semi-circular path of mean radius 10. The difference between distances covered by the inner and outer wheels is

1. 0
2. 10
3. π
4. 2π

11. यदि $d=1$ डिग्री, $r=1$ रेडियन, तथा $g=1$ ग्रेड माना जाये, तो निम्न में से कौन-सा सही है?

(100 ग्रेड = एक लंब कोण)

1. $\cos d < \cos r < \cos g$
2. $\cos r < \cos g < \cos d$
3. $\cos r < \cos d < \cos g$
4. $\cos g < \cos d < \cos r$

11. Write $d=1$ degree, $r=1$ radian and $g=1$ grad. Then which of the following is true?

(100 grad = a right angle)

1. $\cos d < \cos r < \cos g$
2. $\cos r < \cos g < \cos d$
3. $\cos r < \cos d < \cos g$
4. $\cos g < \cos d < \cos r$

12. एक विक्रेता प्रत्येक 100 रुपये क्रय मूल्य वाली चीजों को साल भर बेचता है। पहले आठ महीनों में विक्रय मूल्य अधिक रखा जाता है, तथा बाद के चार महीनों में छूट दी जाती है। छूट के दौरान का विक्रय मूल्य पहले आठ महीनों का आधा है। हर महीने बिकी वस्तुओं की संख्या समान है। यदि वह साल के अंत में 20% मुनाफा पाता है तो पहले आठ महीनों में विक्रय मूल्य क्या है?

1. 122
2. 144
3. 150
4. 160

12. A vendor sells articles having a cost price of Rs.100 each. He sells these articles at a premium price during first eight months, and at a sale price, which is half of the premium price, during next four months. He makes a net profit of 20% at the end of the year. Assuming that equal numbers of articles are sold each month, what is the premium price of the article?

1. 122
2. 144
3. 150
4. 160

13. कथन 'मेरे पुत्र का पिता तुम्हारे जनकों की एकमात्र सन्तान है'

1. कभी सही नहीं हो सकता
2. केवल एक ही प्रकार के संबंध में सही है
3. एक से अधिक संबंधों में सही हो सकता है
4. किसी बहुसंयमनी कुटुंब में ही हो सकता है।

13. The statement: "The father of my son is the only child of your parents"

1. can never be true
2. is true in only one type of relation
3. can be true for more than one type of relations
4. can be true only in a polygamous family

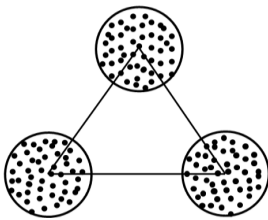
14. एक समतल को सर्वांगसम बहुभुजों से इस तरह ढंकने की आवश्यकता है, कि कोई जगह खाली नहीं छूटे। बहुभुजों में किससे यह संभव है?

1. षडभुज (6-gon)
2. अष्ट भुज (8-gon)
3. दश भुज (10-gon)
4. द्वादशभुज (12-gon)

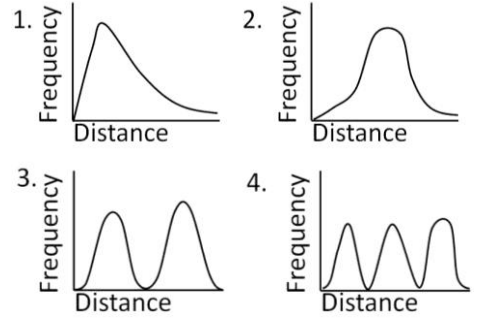
14. One is required to tile a plane with congruent regular polygons. With which of the following polygons is this possible?

1. 6-gon
2. 8-gon
3. 10-gon
4. 12-gon

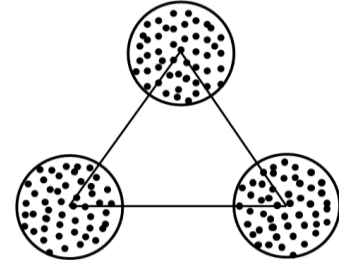
15. बराबर व्यास के तीन वृत्तों को इस प्रकार रखा गया है, जिससे कि उन के केंद्रों से एक समभुज त्रिकोण बन जाये।



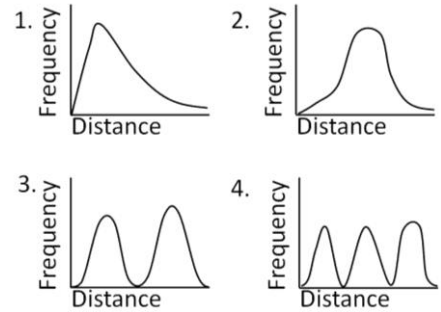
हर वृत्त के अंदर 50 बिंदुओं को यादृच्छिकतः विखरा जाता है। सभी संभव बिन्दु-युगलों के बीच की दूरी का आवृत्ति बंटन इस प्रकार दिखेगा।



15. Three circles of equal diameters are placed such that their centres make an equilateral triangle as in the figure



Within each circle, 50 points are randomly scattered. The frequency distribution of distances between all possible pairs of points will look as



16. भारत के उष्णकटीबंध प्रदेशों में अधिकतर फल अप्रैल-मई के महीनों में पनपते हैं। इस का स्पष्टीकरण नीचे दिये कौन से विधान से हो सकता है?

1. इस दौरान पर्याप्त मात्रा में पानी का होना।
2. गर्मी से फलों का आसानी से पकना।
3. पशुओं के लिए इस दौरान खाने के अन्य स्रोतों की कमी।
4. आने वाले बारिश के मौसम में बीजों का अनुकूलतम प्रसारण हो।

16. Most Indian tropical fruit trees produce fruits in April-May. The best possible explanation for this is

1. optimum water availability for fruit production.

2. the heat allows quicker ripening of fruit.
3. animals have no other source of food in summer.
4. the impending monsoon provides optimum conditions for propagation.

17. एक उत्तल द्वादशभुज (12-gon) के विकर्णों की संख्या है

1. 66
2. 54
3. 55
4. 60

17. The number of diagonals of a convex dodecagon (12-gon) is

1. 66
2. 54
3. 55
4. 60

18. लाल, नीले तथा हरे रंग के क्रमशः तीन बक्से तथा तीन गेंदे हैं। किसी भी डिब्बे में कोई गेंद ऐसी रखी जाती है, कि डिब्बे का और गेंद का रंग भिन्न हो। ऐसे करने के कितने प्रकार हैं?

1. 1
2. 2
3. 3
4. 4

18. Three boxes are coloured red, blue and green and so are three balls. In how many ways can one put the balls one in each box such that no ball goes into the box of its own colour?

1. 1
2. 2
3. 3
4. 4

19. कूट वाचन करें

वि	ध्या	र्थि	यों	को
न	स	म	स्या	ही
मा	स	इ	का	मि
द्धि	बु	ल	ह	ल
।	है	ता	क	स

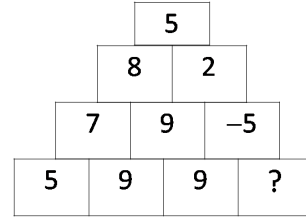
1. विध्यार्थियों को समस्या ही ताकत है।
2. स्याही विध्यार्थियों के काम आती है।
3. समस्याहीन विध्यार्थी कहीं नहीं मिलेंगे।
4. इस समस्या का हल बुद्धिमान विध्यार्थियों को ही मिल सकता है।

19. Decode

G	E	N	T	S	T	U
I	S	S	O	L	V	D
L	I	I	S	P	A	E
L	M	H	T	R	B	N
E	E	L	B	O	L	T
T	N	I	Y	B	E	S

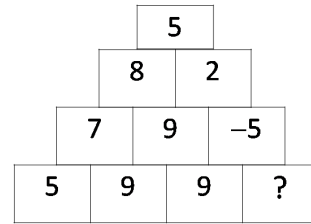
1. GENT STUDENTS CAUSE LITTLE HEART BURNS
2. STUDENTS ARE INTELLIGENT BUT PROBLEM IS NOT SOLVABLE
3. THIS PROBLEM IS UNSOLVABLE BY ANY STUDENT
4. THIS PROBLEM IS SOLVABLE BY INTELLIGENT STUDENTS

20. लापता संख्या है



1. -19
2. -5
3. 9
4. -9

20. The missing number is



1. -19
2. -5
3. 9
4. -9

21. साइटोक्रोम P₄₅₀ तथा मायोग्लोबिन के जैव प्रकार्य हैं, क्रमशः

1. ऐल्कीन का आक्सीकरण तथा O₂ का संग्रहण।
2. O₂ का परिवहन तथा O₂ का संग्रहण।
3. O₂ का संग्रहण तथा इलेक्ट्रान कैरियर।
4. इलेक्ट्रान कैरियर तथा O₂ का परिवहन।

21. The biological functions of cytochrome P₄₅₀ and myoglobin are, respectively

1. oxidation of alkene and O₂ storage
2. O₂ transport and O₂ storage
3. O₂ storage and electron carrier
4. electron carrier and O₂ transport

22. डीआक्सी-हीमोसायनिन है
1. हीम प्रोटीन और अनुचुम्बकीय।
 2. रंगहीन और प्रतिचुम्बकीय।
 3. O₂ परिवहक और अनुचुम्बकीय।
 4. नीले रंग का और प्रतिचुम्बकीय।
22. Deoxy-hemocyanin is
1. heme protein and paramagnetic
 2. colorless and diamagnetic
 3. O₂ transporter and paramagnetic
 4. blue colored and diamagnetic
23. [CrO₄]²⁻, [MnO₄]²⁻ तथा [FeO₄]²⁻ की आक्सीकरण क्षमता जिस क्रम का अनुसरण करती है, वह है।
1. [CrO₄]²⁻ < [MnO₄]²⁻ < [FeO₄]²⁻
 2. [FeO₄]²⁻ < [MnO₄]²⁻ < [CrO₄]²⁻
 3. [MnO₄]²⁻ < [FeO₄]²⁻ < [CrO₄]²⁻
 4. [CrO₄]²⁻ < [FeO₄]²⁻ < [MnO₄]²⁻
23. The oxidizing power of [CrO₄]²⁻, [MnO₄]²⁻, and [FeO₄]²⁻ follows the order
1. [CrO₄]²⁻ < [MnO₄]²⁻ < [FeO₄]²⁻
 2. [FeO₄]²⁻ < [MnO₄]²⁻ < [CrO₄]²⁻
 3. [MnO₄]²⁻ < [FeO₄]²⁻ < [CrO₄]²⁻
 4. [CrO₄]²⁻ < [FeO₄]²⁻ < [MnO₄]²⁻
24. क्रिस्टल क्षेत्र सिद्धान्त के अनुसार निम्नलिखित में से उन संकुल आयनों को पहिचानिए जिसके लिए μ_{eff} (स्पिन केवल) का मान समान है।
- (A) [CoF₆]³⁻,
 (B) [IrCl₆]³⁻,
 (C) [Fe(H₂O)₆]²⁺,
1. A तथा B
 2. B तथा C
 3. A तथा C
 4. A, B, तथा C
24. Using crystal field theory, identify from the following complex ions that shows same μ_{eff} (spin only) values
- (A) [CoF₆]³⁻, (B) [IrCl₆]³⁻, (C) [Fe(H₂O)₆]²⁺,
1. A and B
 2. B and C
 3. A and C
 4. A, B, and C
25. [W(η^5 -C₅H₅)(μ -Cl)(CO)₂]₂ में W-W आबन्ध कोटि है
1. तीन
 2. दो
 3. एक
 4. शून्य
25. The W-W bond order in [W(η^5 -C₅H₅)(μ -Cl)(CO)₂]₂ is
1. three
 2. two
 3. one
 4. zero
26. [Mn(H₂O)₆]²⁺ में Mn-O आबन्ध लम्बाईओं के लिए सही कथन है
1. सभी आबन्ध समान हैं।
 2. चार आबन्ध दूसरे दो की अपेक्षा दीर्घ हैं।
 3. दो आबन्ध दूसरे चार की अपेक्षा दीर्घ हैं।
 4. [MnO₄]⁻ के Mn-O आबन्ध की अपेक्षा यह लघु हैं।
26. The correct statement for Mn-O bond lengths in [Mn(H₂O)₆]²⁺ is
1. All bonds are equal
 2. Four bonds are longer than two others
 3. Two bonds are longer than four others
 4. They are shorter than the Mn-O bond in [MnO₄]⁻
27. [Fe(η^5 -C₅H₅)(CH₃)(CO)₂] की PMe₃, से अभिक्रिया में उत्पन्न मुख्य मध्यवर्ती है
1. [Fe(η^5 -C₅H₅)(CH₃)(CO)₂(PMe₃)]
 2. [Fe(η^5 -C₅H₅)(COCH₃)(CO)]
 3. [Fe(η^3 -C₅H₅)(CH₃)(CO)₂]
 4. [Fe(η^3 -C₅H₅)(COCH₃)(CO)(PMe₃)]
27. For the reaction of [Fe(η^5 -C₅H₅)(CH₃)(CO)₂] with PMe₃, the main intermediate is
1. [Fe(η^5 -C₅H₅)(CH₃)(CO)₂(PMe₃)]
 2. [Fe(η^5 -C₅H₅)(COCH₃)(CO)]
 3. [Fe(η^3 -C₅H₅)(CH₃)(CO)₂]
 4. [Fe(η^3 -C₅H₅)(COCH₃)(CO)(PMe₃)]
28. आयरन(II) के पोटैशियम डाइक्रोमेट से अनुमापन में जब फेरॉइन को सूचक प्रयोग करते हैं तो, संकुल आयनों को आनुक्रमिक क्रम में पहचानिये। (phen = 1,10-phenanthroline)
1. [Fe(phen)₃]²⁺ तथा [Fe(phen)₃]³⁺
 2. [Fe(phen)₃]³⁺ तथा [Fe(phen)₃]²⁺
 3. [Fe(CN)₆]⁴⁻ तथा [Fe(CN)₆]³⁻
 4. [Fe(CN)₆]³⁻ तथा [Fe(CN)₆]⁴⁻
28. Identify the complex ions in sequential order when ferroin is used as an indicator in the titration of iron(II) with potassium dichromate. (phen = 1,10-phenanthroline)
1. [Fe(phen)₃]²⁺ and [Fe(phen)₃]³⁺
 2. [Fe(phen)₃]³⁺ and [Fe(phen)₃]²⁺

3. $[\text{Fe}(\text{CN})_6]^{4-}$ and $[\text{Fe}(\text{CN})_6]^{3-}$
 4. $[\text{Fe}(\text{CN})_6]^{3-}$ and $[\text{Fe}(\text{CN})_6]^{4-}$
29. XeF_2 तथा XeO_2F_2 की संरचनाएं हैं, क्रमशः
 1. बंकित, चतुष्फलकीय
 2. रैखिक, वर्गसमतलीय
 3. रैखिक, ढेंकुली
 4. बंकित, ढेंकुली
29. The structures of XeF_2 and XeO_2F_2 respectively are
 1. bent, tetrahedral
 2. linear, square planar
 3. linear, see-saw
 4. bent, see-saw
30. निम्नलिखित में से किसकी स्पिन गति चुम्बकीय आघूर्ण देती है।
 A. इलेक्ट्रॉन; B. प्रोटॉन; C. न्यूट्रॉन
 सही उत्तर है।
 1. A तथा B 2. B तथा C
 3. A तथा C 4. A, B तथा C
30. Spin motion of which of the following gives magnetic moment
 A. Electron; B. Proton; C. Neutron
 Correct answer is
 1. A and B 2. B and C
 3. A and C 4. A, B and C
31. कूलॉममिती के लिए सही उत्तर है।
 1. यह विद्युत-अपघटन के फैराडे नियमों पर आधारित है।
 2. यह एक प्रकार की वोल्टधारामिति है।
 3. यह ओम के नियम पर आधारित है।
 4. इसमें आयन वरणात्मक इलेक्ट्रोड का उपयोग करते हैं।
31. Correct statement for coulometry is
 1. it is based on Faraday's law of electrolysis
 2. it is a type of voltammetry
 3. it is based on Ohm's law
 4. it uses ion selective electrode
32. बोरान हाइड्राइडों के लिए ब्रन्सटेड अम्लता बढ़ने का सही क्रम है।
 1. $\text{B}_5\text{H}_9 < \text{B}_6\text{H}_{10} < \text{B}_{10}\text{H}_{14}$
 2. $\text{B}_{10}\text{H}_{14} < \text{B}_5\text{H}_9 < \text{B}_6\text{H}_{10}$
 3. $\text{B}_6\text{H}_{10} < \text{B}_{10}\text{H}_{14} < \text{B}_5\text{H}_9$
 4. $\text{B}_{10}\text{H}_{14} < \text{B}_6\text{H}_{10} < \text{B}_5\text{H}_9$
32. The order of increasing Brønsted acidity for boron hydrides is
 1. $\text{B}_5\text{H}_9 < \text{B}_6\text{H}_{10} < \text{B}_{10}\text{H}_{14}$
 2. $\text{B}_{10}\text{H}_{14} < \text{B}_5\text{H}_9 < \text{B}_6\text{H}_{10}$
 3. $\text{B}_6\text{H}_{10} < \text{B}_{10}\text{H}_{14} < \text{B}_5\text{H}_9$
 4. $\text{B}_{10}\text{H}_{14} < \text{B}_6\text{H}_{10} < \text{B}_5\text{H}_9$
33. निम्नलिखित स्पीशीज़ में से जिनके लिए प्रवाही संरचना आचरण दर्शाना प्रत्याशित है, वह हैं
 A. $[\text{NiCl}_4]^{2-}$ (चतुष्फलकीय),
 B. IF_7 (पंचसमनताक्ष द्विपिरामिडीय),
 C. $[\text{CoF}_6]^{3-}$ (अष्टफलकीय),
 D. $\text{Fe}(\text{CO})_5$ (त्रिसमनताक्ष द्विपिरामिडीय)
 1. B तथा C 2. B तथा D
 3. C तथा D 4. A तथा D
33. Among the following, species expected to show fluxional behaviour are
 A. $[\text{NiCl}_4]^{2-}$ (tetrahedral),
 B. IF_7 (pentagonal bipyramidal),
 C. $[\text{CoF}_6]^{3-}$ (octahedral),
 D. $\text{Fe}(\text{CO})_5$ (trigonal bipyramidal)
 1. B and C 2. B and D
 3. C and D 4. A and D
34. $[\text{Si}_6\text{O}_{18}]^{12-}$ में वलय का साइज़ तथा उपस्थित संयुक्त हुए चतुष्फलकों की संख्या है, क्रमशः
 1. 6 तथा 6 2. 12 तथा 6
 3. 12 तथा 12 4. 6 तथा 12
34. The ring size and the number of linked tetrahedra present in $[\text{Si}_6\text{O}_{18}]^{12-}$ are, respectively,
 1. 6 and 6 2. 12 and 6
 3. 12 and 12 4. 6 and 12
35. अणु C_3O_2 की संरचना रैखिक है। इस यौगिक में
 1. 4 σ तथा 4 π आबन्ध हैं।
 2. 3 σ तथा 2 π आबन्ध हैं।
 3. 2 σ तथा 3 π आबन्ध हैं।
 4. 3 σ तथा 4 π आबन्ध हैं।
35. The molecule C_3O_2 has a linear structure. This compound has
 1. 4 σ and 4 π bonds
 2. 3 σ and 2 π bonds
 3. 2 σ and 3 π bonds
 4. 3 σ and 4 π bonds

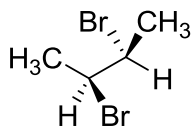
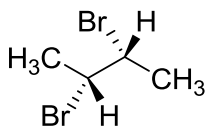
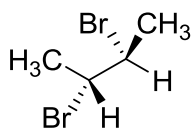
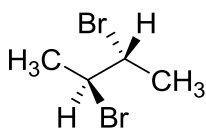
36. निम्नलिखित युग्मों में से किसमें धात्विक त्रिज्यायें असामान्य रूप से उच्च हैं?

1. Eu, Yb
2. Sm, Tm
3. Gd, Lu
4. Nd, Ho

36. The metallic radii are abnormally high for which of the following pairs?

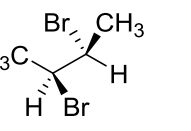
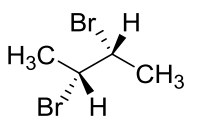
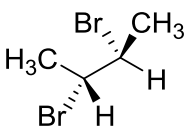
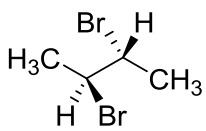
1. Eu, Yb
2. Sm, Tm
3. Gd, Lu
4. Nd, Ho

37. निम्नलिखित यौगिकों में से दो ऐनेन्टिओमरों को पहिचानिए।



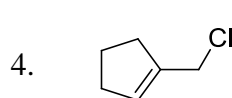
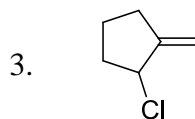
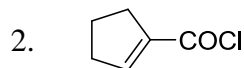
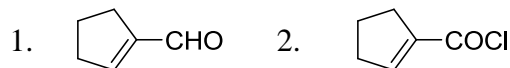
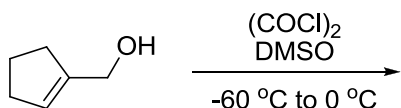
1. A तथा B
2. A तथा C
3. B तथा D
4. C तथा D

37. Identify two enantiomers among the following compounds.

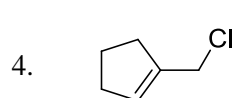
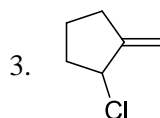
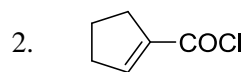
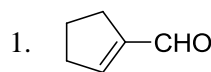
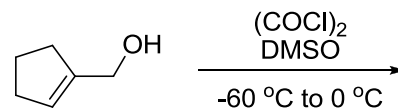


1. A and B
2. A and C
3. B and D
4. C and D

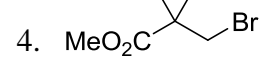
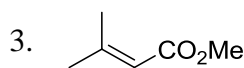
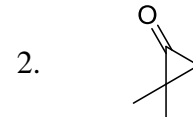
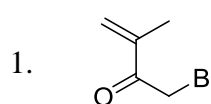
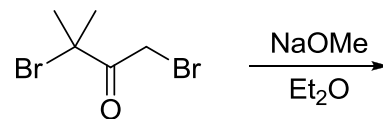
38. निम्नलिखित अभिक्रिया में उत्पन्न मुख्य उत्पाद है।



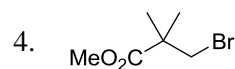
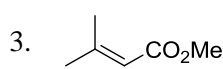
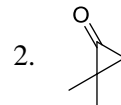
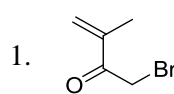
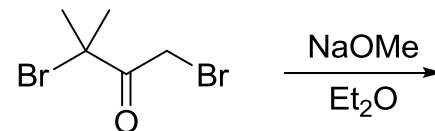
38. The major product formed in the following reaction is



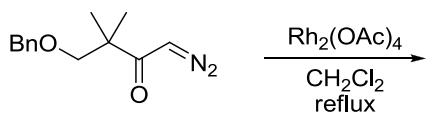
39. निम्नलिखित अभिक्रिया में उत्पन्न मुख्य उत्पाद है।



39. The major product formed in the following reaction is

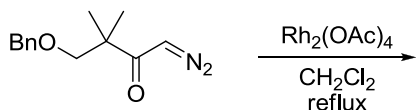


40. निम्नलिखित अभिक्रिया में उत्पन्न मुख्य उत्पाद है।



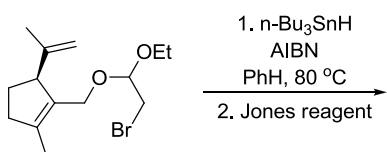
1. 2.
3. 4.

40. The major product formed in the following reaction is



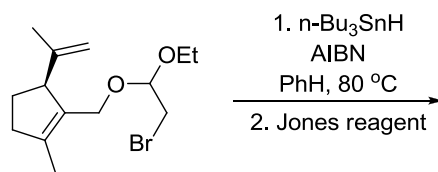
1. 2.
3. 4.

41. निम्नलिखित अभिक्रिया में उत्पन्न मुख्य उत्पाद है।



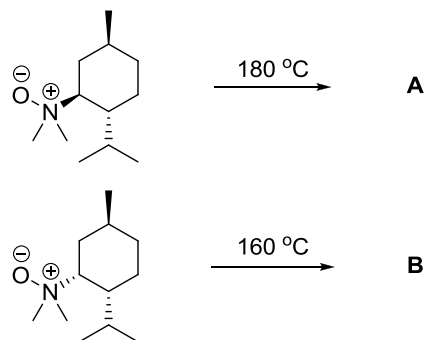
1. 2.
3. 4.

41. The major product formed in the following reaction is



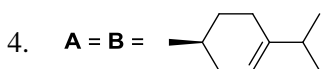
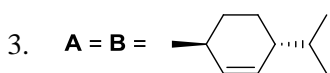
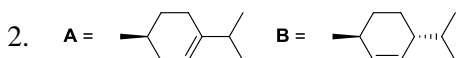
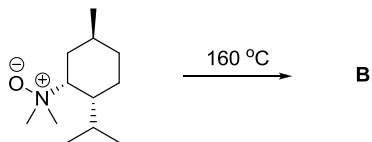
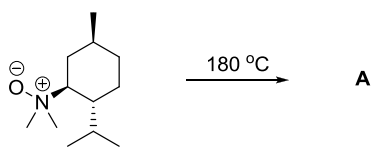
1. 2.
3. 4.

42. निम्नलिखित अभिक्रियाओं में मुख्य उत्पाद A तथा B हैं।

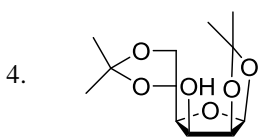
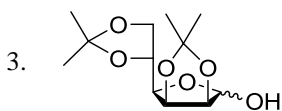
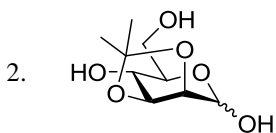
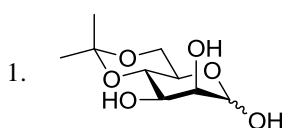
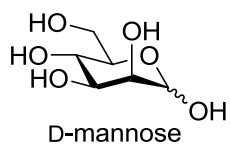


1. A = B =
2. A = B =
3. A = B =
4. A = B =

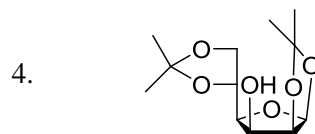
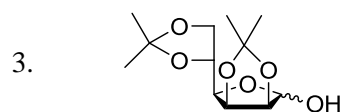
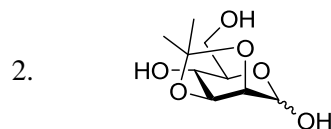
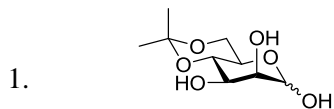
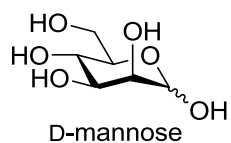
42. The major products **A** and **B** in the following reactions are



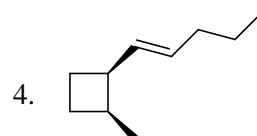
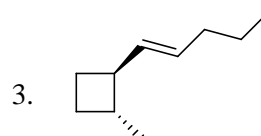
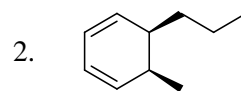
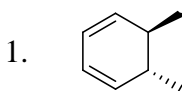
43. CuSO_4 तथा H_2SO_4 के साथ D-मैनोस (D-Mannose) का ऐसीटोन में पश्चाहान देता है।



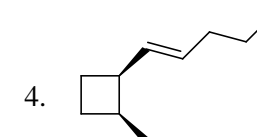
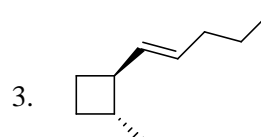
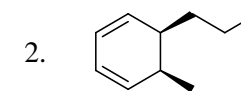
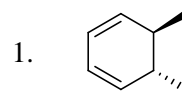
43. D-Mannose upon refluxing in acetone with CuSO_4 and H_2SO_4 gives



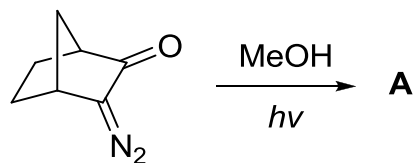
44. (2E,4Z,6E)-डेकाट्राईन की प्रकाश रासायनिक अभिक्रिया से उत्पन्न मुख्य उत्पाद है।



44. The major product formed by photochemical reaction of (2E,4Z,6E)-decaatriene is



45. निम्नलिखित अभिक्रिया के लिए सही कथन है।



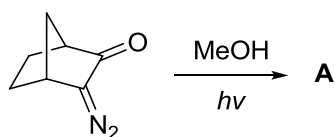
1. **A =** और अभिक्रिया कार्बिन मध्यवर्ती के द्वारा अग्रसरित है

2. **A =** और अभिक्रिया नाइट्रीन मध्यवर्ती के द्वारा अग्रसरित है

3. **A =** और अभिक्रिया नोर्रिश प्रकार-II पथ द्वारा अग्रसरित होती है

4. **A =** और अभिक्रिया नोर्रिश प्रकार-I पथ द्वारा अग्रसरित होती है

45. The correct statement about the following reaction is that



1. **A =** and the reaction proceeds through carbene intermediate

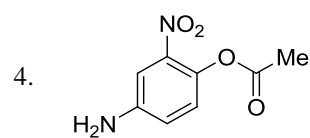
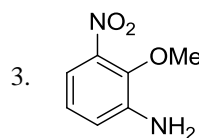
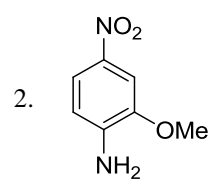
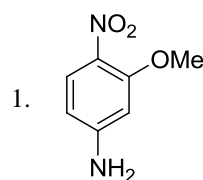
2. **A =** and the reaction proceeds through nitrene intermediate

3. **A =** and the reaction proceeds through Norrish type II path

4. **A =** and the reaction proceeds through Norrish type I path

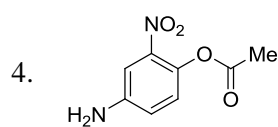
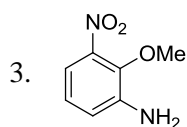
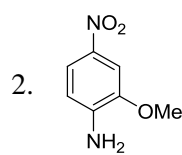
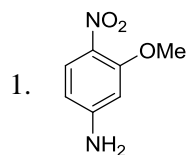
46. नीचे दिये गये $^1\text{H NMR}$ आंकड़ों से संगत यौगिक की संरचना है।

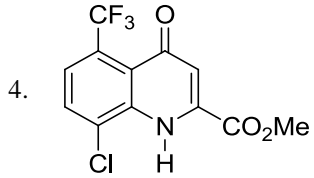
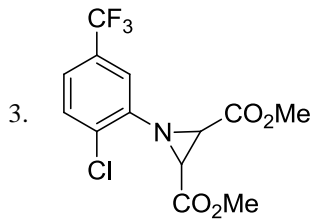
$^1\text{H NMR}$ (DMSO- d_6): δ 7.75 (dd, $J = 8.8, 2.4$ Hz, 1H), 7.58 (d, $J = 2.4$ Hz, 1H), 6.70 (d, $J = 8.8$ Hz, 1H), 6.50 (broad s, 2H), 3.80 (s, 3H).



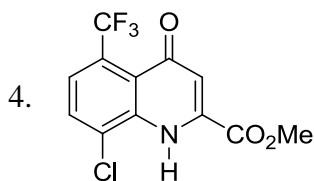
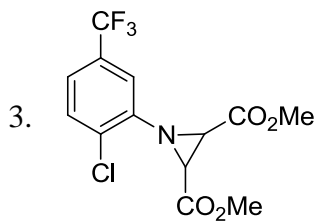
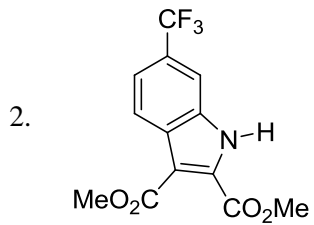
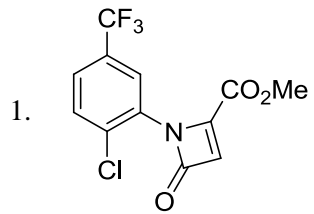
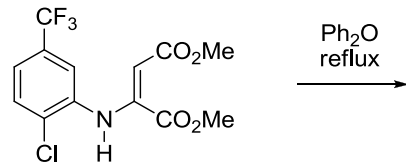
46. The structure of the compound that matches the $^1\text{H NMR}$ data given below is

$^1\text{H NMR}$ (DMSO- d_6): δ 7.75 (dd, $J = 8.8, 2.4$ Hz, 1H), 7.58 (d, $J = 2.4$ Hz, 1H), 6.70 (d, $J = 8.8$ Hz, 1H), 6.50 (broad s, 2H), 3.80 (s, 3H).

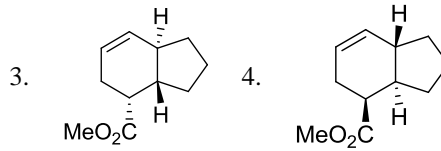
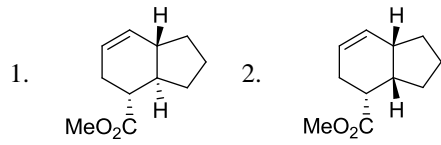
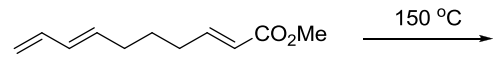




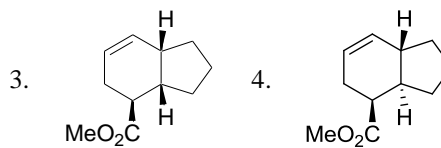
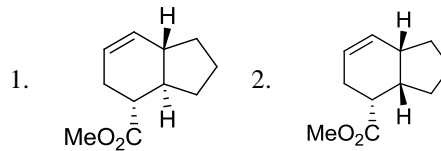
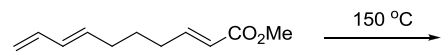
50. The major product formed in the following reaction is



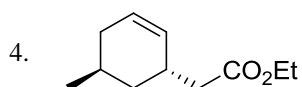
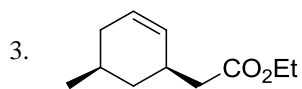
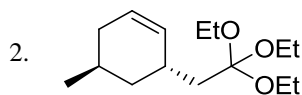
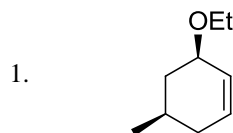
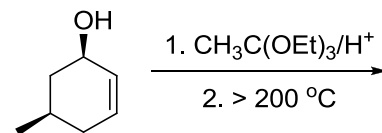
51. निम्नलिखित अभिक्रिया में उत्पन्न मुख्य उत्पाद है।



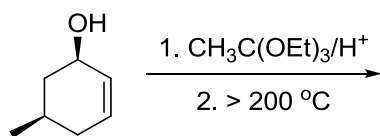
51. The major product formed in the following reaction is



52. निम्नलिखित अभिक्रिया में उत्पन्न मुख्य उत्पाद है।

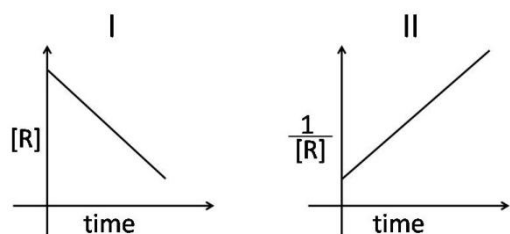


52. The major product formed in the following reaction is



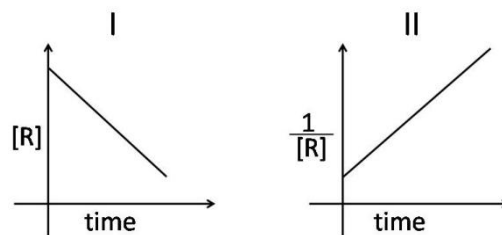
-
-
-
-

53. दो भिन्न अभिक्रियाओं में अभिकर्मक R की सान्द्रता में समय के साथ जो परिवर्तन होता है वह, निम्नलिखित आरेखों में दर्शाया गया है:



इन दो अभिक्रियाओं I तथा II, की कोटियां हैं, क्रमशः

- शून्य तथा एक
 - एक तथा शून्य
 - शून्य तथा दो
 - दो तथा शून्य
53. The concentration of a reactant R varies with time for two different reactions as shown in the following plots:

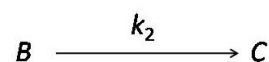
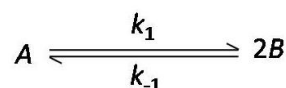


The orders of these two reactions I and II, respectively, are

- zero and one
 - one and zero
 - zero and two
 - two and zero
54. एक सरल घनीय क्रिस्टल जालक में $[201]$ तथा xy तल के मध्य कोण है,
- 30° से कम।
 - 30° तथा 45° के मध्य।
 - 45° तथा 60° के मध्य।
 - 60° से अधिक।

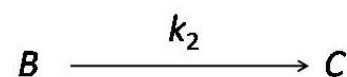
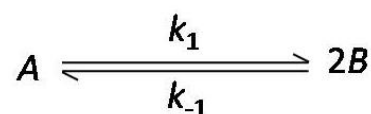
54. For a simple cubic crystal lattice, the angle between the $[201]$ plane and the xy plane is
- less than 30°
 - between 30° and 45°
 - between 45° and 60°
 - greater than 60°

55. निम्नलिखित अभिक्रिया के लिए,



$\frac{d[B]}{dt}$ को जो देता है, वह है

- $k_1[A] - k_{-1}[B]^2 - 2k_2[B]$
 - $2k_1[A] - 2k_{-1}[B]^2 - k_2[B]$
 - $\frac{1}{2}k_1[A] - \frac{1}{2}k_{-1}[B]^2 - k_2[B]$
 - $2k_1[A] - 2k_{-1}[B]^{1/2} - k_2[B]$
55. For the following reaction,



$\frac{d[B]}{dt}$ is given by

1. $k_1[A] - k_{-1}[B]^2 - 2k_2[B]$
2. $2k_1[A] - 2k_{-1}[B]^2 - k_2[B]$
3. $\frac{1}{2}k_1[A] - \frac{1}{2}k_{-1}[B]^2 - k_2[B]$
4. $2k_1[A] - 2k_{-1}[B]^{1/2} - k_2[B]$

56. एक द्विपरमाणुक अणु की अपचित संहति को, यदि उसके बल नियतांक में बिना परिवर्तन किए, दो गुना कर दिया जाए तो अणु की कम्पनिक आवृत्ति होगी

1. मूल आवृत्ति की $\sqrt{2}$ गुनी
2. मूल आवृत्ति की $\frac{1}{\sqrt{2}}$ गुनी
3. मूल आवृत्ति की दो गुनी
4. अपरिवर्तित

56. If the reduced mass of a diatomic molecule is doubled without changing its force constant, the vibrational frequency of the molecule will be

1. $\sqrt{2}$ times the original frequency
2. $\frac{1}{\sqrt{2}}$ times the original frequency
3. twice the original frequency
4. unchanged

57. मैक्सवेल वितरण के लिए गति का मानक विचलन (σ_c) जिस संबंध को संतुष्ट करता है, वह है

1. $\sigma_c \propto T$
2. $\sigma_c \propto \sqrt{T}$
3. $\sigma_c \propto 1/T$
4. $\sigma_c \propto 1/\sqrt{T}$

57. The standard deviation of speed (σ_c) for Maxwell's distribution satisfies the relation

1. $\sigma_c \propto T$
2. $\sigma_c \propto \sqrt{T}$
3. $\sigma_c \propto 1/T$
4. $\sigma_c \propto 1/\sqrt{T}$

58. अभिक्रिया $\text{Fe}_2\text{O}_3(s) + 3\text{C}(s) \rightarrow 2\text{Fe}(s) +$

$3\text{CO}(g)$ के लिए $\Delta U - \Delta H$ का मान है।

1. $-3RT$
2. $+3RT$
3. $+RT$
4. $-RT$

58. The value of $\Delta U - \Delta H$ for the reaction

$\text{Fe}_2\text{O}_3(s) + 3\text{C}(s) \rightarrow 2\text{Fe}(s) + 3\text{CO}(g)$ is

1. $-3RT$
2. $+3RT$
3. $+RT$
4. $-RT$

59. p (परिवेश) से यदि दाब p (निकाय) अधिक हो तो

1. परिवेश द्वारा निकाय पर कार्य होता है।
2. निकाय द्वारा परिवेश पर कार्य होता है।
3. निकाय पर परिवेश का कार्य बराबर होता है, परिवेश पर निकाय द्वारा किए गये कार्य के।
4. निकाय की आन्तरिक ऊर्जा बढ़ती है।

59. If the pressure p (system) is greater than the p (surroundings), then

1. work is done on the system by the surroundings
2. work is done on the surroundings by the system
3. work done on the system by the surroundings is equal to the work done on the surroundings by the system
4. internal energy of the system increases

60. दो भिन्न शून्येत्तर आपरेटर \hat{A} तथा \hat{B}

($\hat{A} \neq \hat{B}$) संबंध

($\hat{A} + \hat{B})(\hat{A} - \hat{B}) = \hat{A}^2 - \hat{B}^2$ को सन्तुष्ट करते हैं, जब

1. $\hat{A}\hat{B} = \hat{A}^2$ तथा $\hat{B}\hat{A} = \hat{B}^2$
2. $\hat{A}\hat{B} + \hat{B}\hat{A} = 0$
3. \hat{A} तथा \hat{B} निरंकुश हैं।
4. $\hat{A}\hat{B} - \hat{B}\hat{A} = 0$

60. Two different non-zero operators \hat{A} and \hat{B} ($\hat{A} \neq \hat{B}$) satisfy the relation

($\hat{A} + \hat{B})(\hat{A} - \hat{B}) = \hat{A}^2 - \hat{B}^2$, when

1. $\hat{A}\hat{B} = \hat{A}^2$ and $\hat{B}\hat{A} = \hat{B}^2$
2. $\hat{A}\hat{B} + \hat{B}\hat{A} = 0$
3. \hat{A} and \hat{B} are arbitrary
4. $\hat{A}\hat{B} - \hat{B}\hat{A} = 0$

61. तीन आयामी घनीय बाक्स में एक कण की ऊर्जा निम्नतम अवस्था की ऊर्जा से 3 गुनी हो तो कण की उत्तेजित अवस्था में अपभ्रष्टता है

1. 3
2. 2
3. 1
4. 4

61. The degeneracy of an excited state of a particle in 3-dimensional cubic box with energy 3 times its ground state energy is

1. 3
2. 2
3. 1
4. 4

62. एक अभिक्रिया के लिए ΔH जिस आरेख के ढाल के तुल्य होता है वह है

1. ΔG versus $(1/T)$
2. ΔG versus T

3. $(\Delta G/T)$ versus T
 4. $(\Delta G/T)$ versus $(1/T)$
62. ΔH of a reaction is equal to slope of the plot of
 1. ΔG versus $(1/T)$
 2. ΔG versus T
 3. $(\Delta G/T)$ versus T
 4. $(\Delta G/T)$ versus $(1/T)$
63. सरल लैंगम्यूर समतापी के लिए सही रूप है
 1. $\theta = Kp$
 2. $\theta = (Kp)^{1/2}$
 3. $\theta = Kp/(1 + Kp)$
 4. $\theta = (1 + Kp)/Kp$
63. The correct form for a simple Langmuir isotherm is
 1. $\theta = Kp$
 2. $\theta = (Kp)^{1/2}$
 3. $\theta = Kp/(1 + Kp)$
 4. $\theta = (1 + Kp)/Kp$
64. कोलाराऊश नियम $A_m = A_m^\circ - \mathcal{K}\sqrt{c}$ में A_m° तथा \mathcal{K}
 1. केवल स्टॉइकियोमीट्री पर निर्भर करते हैं।
 2. केवल विद्युत-अपघट्य की विशिष्ट पहचान पर निर्भर करते हैं।
 3. विद्युत-अपघट्य की विशिष्ट पहचान से स्वतंत्र होते हैं।
 4. मुख्य रूप से क्रमशः विद्युत अपघट्य की विशिष्ट पहचान तथा स्टॉइकियोमीट्री पर निर्भर करते हैं।
64. In Kohlrausch law $A_m = A_m^\circ - \mathcal{K}\sqrt{c}$, A_m° and \mathcal{K}
 1. depend only on stoichiometry
 2. depend only on specific identity of the electrolyte
 3. are independent of specific identity of the electrolyte
 4. are mainly dependent on specific identity of the electrolyte and stoichiometry, respectively
65. $((\bar{M}_n) \cdot (\bar{M}_w))$ के गुणन के लिए सही व्यंजक है $[\bar{M}_n$ तथा \bar{M}_w बहुलक के लिए क्रमशः संख्या-औसत तथा भार औसत मोलर संहतियां हैं]
 1. $N^{-1} \sum_i N_i M_i$
 2. $N^{-1} \sum_i N_i M_i^2$
 3. $N / \sum_i N_i M_i$
 4. $N / \sum_i N_i M_i^2$
65. The correct expression for the product $((\bar{M}_n) \cdot (\bar{M}_w))$ [\bar{M}_n and \bar{M}_w are the number-average and weight average molar masses, respectively, of a polymer] is
 1. $N^{-1} \sum_i N_i M_i$
 2. $N^{-1} \sum_i N_i M_i^2$
 3. $N / \sum_i N_i M_i$
 4. $N / \sum_i N_i M_i^2$
66. 0.1M Na_2SO_4 विलयन के समान आयनिक क्षमता के MgSO_4 के विलयन की सांद्रता है
 1. 0.05 M
 2. 0.067 M
 3. 0.075 M
 4. 0.133 M
66. The concentration of a MgSO_4 solution having the same ionic strength as that of a 0.1M Na_2SO_4 solution is
 1. 0.05 M
 2. 0.067 M
 3. 0.075 M
 4. 0.133 M
67. $C_1 2s + C_2 2p_z$ sp संकर कक्षकों के रूप को दर्शाता है ($2s$ तथा $2p_z$ पृथक रूप से प्रसामान्यीकृत हैं)। उपरोक्त sp संकर कक्षकों के प्रसामान्यीकृत रूपों के लिए गुणांक हैं।
 1. $C_1 = \frac{1}{\sqrt{2}}$, $C_2 = \pm \frac{1}{\sqrt{2}}$
 2. $C_1 = \frac{1}{2}$, $C_2 = \pm \frac{1}{2}$
 3. $C_1 = \frac{1}{\sqrt{2}}$, $C_2 = \pm \frac{1}{2}$
 4. $C_1 = \frac{1}{2}$, $C_2 = \pm \frac{1}{\sqrt{2}}$
67. sp hybrid orbitals are of the form $C_1 2s + C_2 2p_z$ ($2s$ and $2p_z$ are normalised individually). The coefficients of the normalized form of the above sp hybrid orbitals are
 1. $C_1 = \frac{1}{\sqrt{2}}$, $C_2 = \pm \frac{1}{\sqrt{2}}$
 2. $C_1 = \frac{1}{2}$, $C_2 = \pm \frac{1}{2}$
 3. $C_1 = \frac{1}{\sqrt{2}}$, $C_2 = \pm \frac{1}{2}$
 4. $C_1 = \frac{1}{2}$, $C_2 = \pm \frac{1}{\sqrt{2}}$
68. निम्नलिखित में से सही कथन है
 1. N_2^+ की अपेक्षा N_2 का आबन्ध क्रम अधिक है अतः N_2 की आबन्ध लम्बाई N_2^+ की अपेक्षा अधिक होती है।
 2. N_2 की अपेक्षा N_2^+ का आबन्ध क्रम अधिक है अतः N_2^+ की आबन्ध लम्बाई N_2 की अपेक्षा अधिक होती है।

3. N_2^+ की अपेक्षा N_2 का आबन्ध क्रम अधिक है अतः N_2 की वियोजन ऊर्जा N_2^+ की अपेक्षा अधिक होती है।
4. N_2^+ की अपेक्षा N_2 का आबन्ध क्रम कम है अतः N_2 की वियोजन ऊर्जा N_2^+ की अपेक्षा कम होती है।

68. The correct statement among the following is

- N_2 has higher bond order than N_2^+ and hence has larger bond length compared to N_2^+
- N_2^+ has higher bond order than N_2 and hence has larger bond length compared to N_2
- N_2 has higher bond order than N_2^+ and hence has higher dissociation energy compared to N_2^+
- N_2 has lower bond order than N_2^+ and hence has lower dissociation energy compared to N_2^+ energy

69. M^+ ($M = Li, Na, K$ and Cs) के cryptand, C222 से संकुलन के लिए विरचन स्थिरांक का सही क्रम है

- $Li^+ < Cs^+ < Na^+ < K^+$
- $Li^+ < Na^+ < K^+ < Cs^+$
- $K^+ < Cs^+ < Li^+ < Na^+$
- $Cs^+ < K^+ < Li^+ < Na^+$

69. The formation constant for the complexation of M^+ ($M = Li, Na, K$ and Cs) with cryptand, C222 follows the order

- $Li^+ < Cs^+ < Na^+ < K^+$
- $Li^+ < Na^+ < K^+ < Cs^+$
- $K^+ < Cs^+ < Li^+ < Na^+$
- $Cs^+ < K^+ < Li^+ < Na^+$

70. कॉलम A के यौगिकों के लिए कॉलम B के विवरण से सही मिलान है

कॉलम A		कॉलम B	
P.		X.	Oil of Wintergreen
Q.		Y.	Aspirin
R.		Z.	Ibuprofen

- P-Y, Q-Z, R-X
- P-Z, Q-X, R-Y
- P-Z, Q-Y, R-X
- P-X, Q-Z, R-Y

70. The correct match for compounds in column A with the description in column B is

Column A		Column B	
P.		X.	Oil of Wintergreen
Q.		Y.	Aspirin
R.		Z.	Ibuprofen

- P-Y, Q-Z, R-X
- P-Z, Q-X, R-Y
- P-Z, Q-Y, R-X
- P-X, Q-Z, R-Y

71. O_2 की अनुनाद रामन तनन आवृत्ति (ν_{O-O} , cm^{-1} में) 1580 है। आक्सी-हीमोग्लोबिन में आबंधित O_2 के लिए ν_{O-O} जि सके निकट है, वह है

- 1600
- 1900
- 800
- 1100

71. The resonance Raman stretching frequency (ν_{O-O} , in cm^{-1}) of O_2 is 1580. The ν_{O-O} for O_2 in bound oxy-hemoglobin is close to

- 1600
- 1900
- 800
- 1100

72. कॉलम A की धात्विय प्रोटीनों को कॉलम B में दिये जैव क्रियाओं तथा धातु केन्द्रों में मिलान कीजिए।

कॉलम A	कॉलम B
(a) हीमोग्लोबिन	i. इलेक्ट्रान कैरियर तथा आयरन
(b) साइटोक्रोम b	ii. इलेक्ट्रान कैरियर तथा कापर
(c) विटामिन B_{12}	iii. O_2 परिवहन तथा कापर
(d) हीमोसायनिन	iv. गुप स्थानान्तरण अभिक्रियाएं तथा कोबाल्ट
	v. O_2 संग्रहण तथा कोबाल्ट
	vi. O_2 परिवहन तथा आयरन

सही मिलान है

- (a)-(vi); (b)-(i); (c)-(iv) तथा (d)-(iii)
- (a)-(v); (b)-(i); (c)-(iv) तथा (d)-(iii)
- (a)-(vi); (b)-(v); (c)-(i) तथा (d)-(ii)
- (a)-(v); (b)-(vi); (c)-(ii) तथा (d)-(iv)

72. Match the metalloprotein in column A with its biological function and metal center in column B

Column A	Column B
(a) Hemoglobin	i. Electron carrier and iron
(b) Cytochrome b	ii. Electron carrier and copper
(c) Vitamin B ₁₂	iii. O ₂ transport and copper
(d) Hemocyanin	iv. Group transfer reactions and cobalt
	v. O ₂ storage and cobalt
	vi. O ₂ transport and iron

The correct match is

- (a)-(vi); (b)-(i); (c)-(iv) and (d)-(iii)
- (a)-(v); (b)-(i); (c)-(iv) and (d)-(iii)
- (a)-(vi); (b)-(v); (c)-(i) and (d)-(ii)
- (a)-(v); (b)-(vi); (c)-(ii) and (d)-(iv)

73. परमाण्वीय अवशोषण स्पेक्ट्रोमिती (AAS) के लिए निम्नलिखित में से सही कथनों का चुनाव कीजिए।

- AAS के लिए Hg लैम्प उपयुक्त स्रोत नहीं है।
 - AAS के लिए ग्रेफाइट भट्टी सर्वोत्तम परमाणु कणित्र है।
 - AAS से अधातुओं का आकलन नहीं कर सकते हैं।
 - धातु आयनों के एक साथ आकलन के लिए ICP-AES की अपेक्षा AAS उत्तम है सही उत्तर है
- A, B तथा C
 - B, C तथा D
 - C, D तथा A
 - D, A तथा B

73. Pick the correct statements about Atomic Absorption Spectrometry (AAS) from the following

- Hg lamp is not a suitable source for AAS
- Graphite furnace is the best atomizer for AAS

- Non-metals cannot be determined with AAS
- AAS is better than ICP-AES for simultaneous determination of metal ions

Correct answer is

- A, B and C
- B, C and D
- C, D and A
- D, A and B

74. निम्नलिखित नाभिकीय अभिक्रियाओं में से रेडियोएक्टिव प्रग्रहण को पहचानिए

- ${}^9\text{Be} (\gamma, n) {}^8\text{Be}$
- ${}^{23}\text{Na} (n, \gamma) {}^{24}\text{Na}$
- ${}^{63}\text{Cu} (p, p 3n 9\alpha) {}^{24}\text{Na}$
- ${}^{107}\text{Ag} (n, n) {}^{107}\text{Ag}$

74. Identify radioactive capture from the following nuclear reactions

- ${}^9\text{Be} (\gamma, n) {}^8\text{Be}$
- ${}^{23}\text{Na} (n, \gamma) {}^{24}\text{Na}$
- ${}^{63}\text{Cu} (p, p 3n 9\alpha) {}^{24}\text{Na}$
- ${}^{107}\text{Ag} (n, n) {}^{107}\text{Ag}$

75. स्पेक्ट्रोफ्लुओरोमिती विश्लेषण में अंश शोधन वक्र अरेखिक हो जाता है जब

- विश्लेष्य की अणु संहति उच्च होती है।
- प्रकाश स्रोत की तीव्रता अधिक होती है।
- विश्लेष्य की सान्द्रता उच्च होती है।
- विश्लेष्य की मोल अवशोषकता उच्च होती है।

75. The calibration curve in spectrofluorimetric analysis becomes non-linear when

- molecular weight of analyte is high
- intensity of light source is high
- concentration of analyte is high
- molar absorptivity of analyte is high

76. $[\text{MnO}_4]^-$ का रंग गहरा बैंगनी है जबकि $[\text{ReO}_4]^-$ रंगहीन है। इसका कारण अधिक ऊर्जा की आवश्यकता है,

- Mn यौगिक की अपेक्षा Re यौगिक में d-d संक्रमण के लिए।
- Re यौगिक की अपेक्षा Mn यौगिक में d-d संक्रमण के लिए।
- O से Mn की तुलना में O से Re को आवेश स्थानान्तरण के लिए।
- O से Re की तुलना में O से Mn को आवेश स्थानान्तरण के लिए।

76. $[\text{MnO}_4]^-$ is deep purple in color whereas $[\text{ReO}_4]^-$ is colorless. This is due to greater energy required for
1. d-d transitions in the Re compound compared to the Mn compound
 2. d-d transitions in the Mn compound compared to the Re compound
 3. charge transfer from O to Re compared to O to Mn
 4. charge transfer from O to Mn compared to O to Re
77. $[(\eta^3\text{-C}_3\text{H}_5)\text{Mn}(\text{CO})_4]$ का प्रवाही संरचनात्मक आचरण है। इस यौगिक का जब अ-प्रवाही आचरण होता है, तो इसका $^1\text{H NMR}$ स्पेक्ट्रम दर्शाता है
1. एक सिग्नल
 2. 4:1 के तीव्रता अनुपात के दो सिग्नल
 3. 2:2:1 के तीव्रता अनुपात के तीन सिग्नल
 4. समान तीव्रता के पाँच सिग्नल
77. $[(\eta^3\text{-C}_3\text{H}_5)\text{Mn}(\text{CO})_4]$ shows fluxional behaviour. The $^1\text{H NMR}$ spectrum of this compound when it is in the non-fluxional state shows
1. one signal
 2. two signals in the intensity ratio of 4:1
 3. three signals in the intensity ratio of 2:2:1
 4. five signals of equal intensity
78. $[\text{BrF}_4]^-$, XeF_6 तथा $[\text{SbCl}_6]^{3-}$ के केन्द्रीय परमाणु पर एककी इलेक्ट्रान युग्मों की संख्या है क्रमशः
1. 2, 0 तथा 1
 2. 1, 0 तथा 0
 3. 2, 1 तथा 1
 4. 2, 1 तथा 0
78. The number of lone pair(s) of electrons on the central atom in $[\text{BrF}_4]^-$, XeF_6 and $[\text{SbCl}_6]^{3-}$ are, respectively,
1. 2, 0 and 1
 2. 1, 0 and 0
 3. 2, 1 and 1
 4. 2, 1 and 0
79. निम्नलिखित अभिक्रिया पर विचार कीजिए [A] के लिए संभव समावयवों की संख्या है :
- $$\text{N}_3\text{P}_3\text{Cl}_6 + 6 \text{HNMe}_2 \rightarrow \text{N}_3\text{P}_3\text{Cl}_3(\text{NMe}_2)_3 + 3 [\text{A}]$$
- $\text{Me}_2\text{NH}\cdot\text{HCl}$.
1. 4
 2. 3
 3. 2
 4. 5
79. Consider the following reaction:
- $$\text{N}_3\text{P}_3\text{Cl}_6 + 6 \text{HNMe}_2 \rightarrow \text{N}_3\text{P}_3\text{Cl}_3(\text{NMe}_2)_3 + 3 [\text{A}]$$
- $\text{Me}_2\text{NH}\cdot\text{HCl}$.
- The number of possible isomers for [A] is
1. 4
 2. 3
 3. 2
 4. 5
80. $[\text{C}_2\text{B}_5\text{H}_7]$ की संरचना का प्रकार Wade's नियमों का प्रयोग कर बताइए
1. nido
 2. closo
 3. arachno
 4. hypho
80. Using Wade's rules predict the structure type of $[\text{C}_2\text{B}_5\text{H}_7]$.
1. nido
 2. closo
 3. arachno
 4. hypho
81. निम्नलिखित संकुलों में से जो किरल है/हैं, वह है/हैं
- A. $[\text{Co}(\text{ox})_3]^{3-}$, B. $\text{trans}-[\text{CoCl}_2(\text{en})_2]^+$, C. $[\text{Cr}(\text{EDTA})]^-$
1. A तथा B
 2. C तथा B
 3. C केवल
 4. A तथा C
81. Among the following complexes
- A. $[\text{Co}(\text{ox})_3]^{3-}$, B. $\text{trans}-[\text{CoCl}_2(\text{en})_2]^+$, C. $[\text{Cr}(\text{EDTA})]^-$ the chiral one(s) is/are,
1. A and B
 2. C and B
 3. C only
 4. A and C
82. एक धातु संकुल के लिए मॉसबोर स्पेक्ट्रम से जो सूचना प्राप्त होती है, वह है
- A. धातु की आक्सीकरण अवस्था एवं स्पिन अवस्था
- B. धातु से समन्वयति लिगण्डों का प्रकार
- C. धातु की नाभिकीय स्पिन अवस्था
- D. धातु की ज्यामिति।
- सही उत्तर है
1. A तथा C
 2. B तथा C
 3. A, B तथा D
 4. B तथा D
82. Mössbauer spectrum of a metal complex gives information about
- A. oxidation state and spin state of metal
- B. types of ligands coordinated to metal
- C. nuclear spin state of metal
- D. geometry of metal
- Correct answer is
1. A and C
 2. B and C
 3. A, B and D
 4. B and D
83. युरेनोसीन के लिए सही कथन है/हैं:
- (A) यूरेनियम की आक्सीकरण अवस्था '+4' है।
- (B) इसमें साइक्लोऑक्टाटेट्राइनाइड लिगण्ड है।

- (C) यह एक बंकित संरचना का सैन्डविच यौगिक है।
 (D) इस पर '-2' आवेश है।
 सही उत्तर है
 1. A तथा B 2. B तथा C
 3. A तथा D 4. B केवल
- 83.** For uranocene, the correct statement(s) is/are:
 (A) oxidation state of uranium is '+4'.
 (B) it has cyclooctatetraenide ligands
 (C) it is a bent sandwich compound
 (D) it has '-2' charge.
 Correct answer is
 1. A and B 2. B and C
 3. A and D 4. B only
- 84.** कार्बोनिल मेटलेटों $[V(CO)_6]^-$ तथा $[Co(CO)_4]^-$ की H_3PO_4 से अभिक्रिया में उत्पन्न अंतिम उत्पाद हैं क्रमशः
 1. $V(CO)_6$ तथा $HCo(CO)_4$
 2. $HV(CO)_6$ तथा $Co_2(CO)_8$
 3. $[H_2V(CO)_6]^+$ तथा $HCo(CO)_4$
 4. $V(CO)_6$ तथा $Co_2(CO)_8$
- 84.** The final products of the reaction of carbonyl metalates $[V(CO)_6]^-$ and $[Co(CO)_4]^-$ with H_3PO_4 , respectively, are
 1. $V(CO)_6$ and $HCo(CO)_4$
 2. $HV(CO)_6$ and $Co_2(CO)_8$
 3. $[H_2V(CO)_6]^+$ and $HCo(CO)_4$
 4. $V(CO)_6$ and $Co_2(CO)_8$
- 85.** $[Co(CN)_5Cl]^{3-}$ की OH^- से प्रतिस्थापन अभिक्रिया, जो $[Co(CN)_5(OH)]^{3-}$ देती है, के लिए सही कथन है,
 1. यह प्रथम कोटि की गतिकी का अनुसरण करती है।
 2. इसकी दर दोनों अभिकर्मकों की सान्द्रता के समानुपाती है।
 3. यह S_N^1CB क्रियाविधि का अनुसरण करती है।
 4. इसकी दर केवल $[OH^-]$ की सान्द्रता पर निर्भर है।
- 85.** The correct statement about the substitution reaction of $[Co(CN)_5Cl]^{3-}$ with OH^- to give $[Co(CN)_5(OH)]^{3-}$ is,
 1. it obeys first order kinetics
 2. its rate is proportional to the concentration of both the reactants
 3. it follows the S_N^1CB mechanism
 4. its rate is dependent only on the concentration of $[OH^-]$
- 86.** $[Co(NH_3)_5Cl]^{2+}$ का जलीय Cr^{2+} से एक इलेक्ट्रॉन अपचयन एक यौगिक **Y** देता है। यौगिक **Y** का द्रुतगति से जल-अपघटन होता है। **Y** है,
 1. $[Co(NH_3)_5]^{2+}$ 2. $[Co(NH_3)_5(OH)]^+$
 3. $[Co(NH_3)_4(OH)_2]$ 4. $[Cr(H_2O)_5Cl]^{2+}$
- 86.** Aqueous Cr^{2+} effects one electron reduction of $[Co(NH_3)_5Cl]^{2+}$ giving compound **Y**. Compound **Y** undergoes rapid hydrolysis. **Y** is,
 1. $[Co(NH_3)_5]^{2+}$ 2. $[Co(NH_3)_5(OH)]^+$
 3. $[Co(NH_3)_4(OH)_2]$ 4. $[Cr(H_2O)_5Cl]^{2+}$
- 87.** BCl_3 की NH_4Cl से अभिक्रिया एक उत्पाद **A** देती है जो $NaBH_4$ से अपचयित होकर उत्पाद **B** देता है। उत्पाद **B** से HCl अभिक्रिया करके यौगिक **C** देता है, वह है
 1. $Cl_3B_3N_3H_9$ 2. $[ClBNH_3]$
 3. $[HBNH_3]$ 4. $(ClH)_3B_3N_3(ClH)_3$
- 87.** The reaction of BCl_3 with NH_4Cl gives product **A** which upon reduction by $NaBH_4$ gives product **B**. Product **B** upon reacting with HCl affords compound **C**, which is
 1. $Cl_3B_3N_3H_9$ 2. $[ClBNH_3]$
 3. $[HBNH_3]$ 4. $(ClH)_3B_3N_3(ClH)_3$
- 88.** $[Ru(CO)_3]$ खंड, क्लस्टर आबन्धन में संयोजकता इलेक्ट्रॉनों की जो संख्या उपलब्ध करता है, वह है
 1. 1 2. 14
 3. 6 4. 2
- 88.** The number of valence electrons provided by $[Ru(CO)_3]$ fragment towards cluster bonding is
 1. 1 2. 14
 3. 6 4. 2
- 89.** टैनेबे-सूगैनो (Tanabe-Sugano) आरेखों के लिए सही कथनों का चुनाव कीजिए।
 A. यह E/B का Δ_0/B के सम्मुख अंकन है।
 B. निम्नतम पद की ऊर्जा को शून्य ऊर्जा लेते हैं।
 C. समान सममिति के पद एक दूसरे को क्रास करते हैं।
 D. समान सममिति के दो पद लिगण्ड क्षेत्र प्रबलता बढ़ाने पर बंकित हो कर एक दूसरे से दूर हो जाते हैं।
 सही उत्तर है

1. A तथा B
2. A तथा C
3. A, B तथा D
4. A, B, C तथा D

89. Choose the correct statements about Tanabe-Sugano diagrams:

- A. E/B is plotted against Δ_0/B .
- B. The zero energy is taken as that of the lowest term.
- C. Terms of the same symmetry cross each other.
- D. Two terms of the same symmetry upon increase of ligand field strength bend apart from each other.

Correct answer is

1. A and B
2. A and C
3. A, B and D
4. A, B, C and D

90. लैन्थेनाइडों के लिए निम्नलिखित कथनों में से कौन से सत्य हैं?

- (A) कमरे के ताप पर Eu^{3+} का प्रेक्षित चुम्बकीय आघूर्ण, स्पिन-ऑर्बिट युग्मन द्वारा परिकल्पित मान से अधिक होता है।
- (B) लैन्थेनाइड आक्साइडों की प्रकृति प्रखर रूप से अम्लीय होती है।
- (C) Sm(II) की स्थिरता का कारण इसकी अर्धभृत उपकोश है।
- (D) लैन्थेनाइड(III) आयनों को आयन विनमय क्रोमेटोग्राफी से पृथक कर सकते हैं।

सही उत्तर है

1. A तथा D
2. A तथा B
3. A तथा C
4. B तथा C

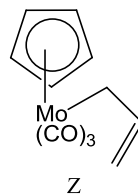
90. Which of the following statements are TRUE for the lanthanides?

- (A) The observed magnetic moment of Eu^{3+} at room temperature is higher than that calculated from spin-orbit coupling
- (B) Lanthanide oxides are predominantly acidic in nature
- (C) The stability of Sm(II) is due to its half-filled sub-shell
- (D) Lanthanide(III) ions can be separated by ion exchange chromatography

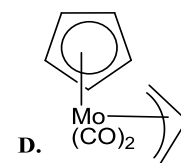
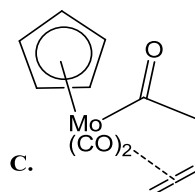
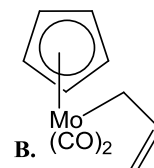
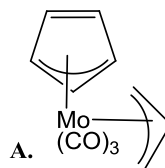
Correct answer is

1. A and D
2. A and B
3. A and C
4. B and C

91. Z के प्रकाश अपघटन में उत्पन्न मध्यवर्ती तथा अंतिम मुख्य उत्पाद



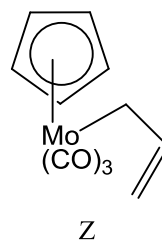
निम्नलिखित में से



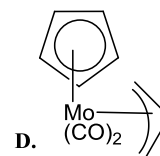
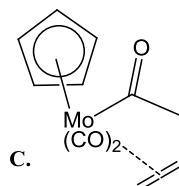
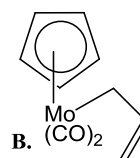
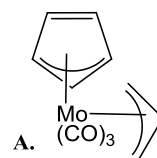
हैं

1. A तथा D
2. B तथा D
3. B तथा C
4. A तथा C

91. The intermediate and the final major product of photolysis of Z



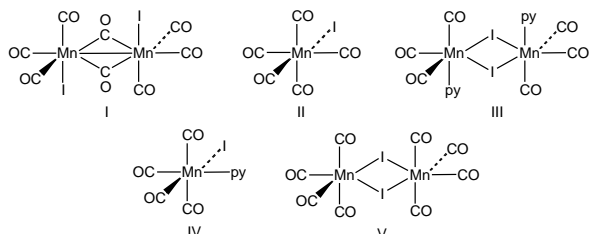
from the following:



are

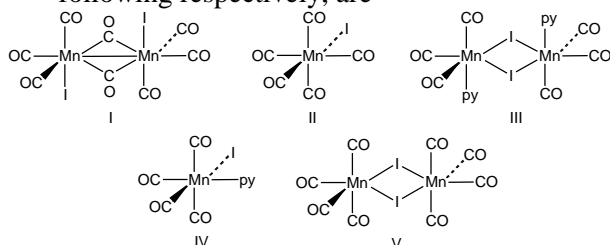
1. A and D
2. B and D
3. B and C
4. A and C

92. $[\text{Mn}_2(\text{CO})_{10}]$ की I_2 से अभिक्रिया बिना CO की क्षति के **A** देती है। यौगिक **A** 120°C पर गर्म करने पर CO लिगण्ड मुक्त करके **B** देता है, जिसमें Mn-Mn आबन्ध नहीं होता है। पिरिडीन यौगिक **B** से अभिक्रिया करके **C** के 2 तुल्यांक देती है। निम्नलिखित में से **A**, **B**, तथा **C** हैं क्रमशः



1. II, V तथा IV 2. II, III तथा IV
3. V, III तथा IV 4. II, V तथा III

92. Reaction of $[\text{Mn}_2(\text{CO})_{10}]$ with I_2 results in **A** without loss of CO . Compound **A**, on heating to 120°C loses a CO ligand to give **B**, which does not have a Mn-Mn bond. Compound **B** reacts with pyridine to give 2 equivalents of **C**. Compounds **A**, **B**, and **C** from the following respectively, are



1. II, V and IV 2. II, III and IV
3. V, III and IV 4. II, V and III

93. $[\text{Fe}(\eta^5\text{-C}_5\text{H}_5)(\mu\text{-CO})(\text{CO})]_2$ (अ-केन्द्रसममितिय) के लिए ठोस अवस्था में लिए गये अवरक्त स्पेक्ट्रम में ν_{CO} बैंडों (cm^{-1}) का लगभग स्थान तथा Fe-Fe आबन्ध कोटि हैं क्रमशः

1. (2020, 1980, 1800) तथा एक
2. (2020, 1980, 1800) तथा दो
3. (2020, 1980) तथा एक
4. (2143) तथा एक

93. The approximate positions of ν_{CO} bands (cm^{-1}) in the solid-state infrared spectrum and the Fe-Fe bond order in $[\text{Fe}(\eta^5\text{-C}_5\text{H}_5)(\mu\text{-CO})(\text{CO})]_2$ (non-centrosymmetric) respectively, are

1. (2020, 1980, 1800) and one
2. (2020, 1980, 1800) and two
3. (2020, 1980) and one
4. (2143) and one

94. ZSM-5 का प्रोटानीकृत रूप बेन्जीन तथा एथीन की अभिक्रिया को उत्प्रेरित कर एथिल बेन्जीन देता है। इस उत्प्रेरण प्रक्रम के लिए सही कथन है
1. ऐल्किल कार्बधनायन बनता है।
 2. कार्बऋणायन बनता है।
 3. बेन्जीन $(\text{C}_6\text{H}_5)^+$ ग्रुप में परिवर्तित हो जाता है।
 4. वाईनिल मूलक बनता है।

94. Protonated form of ZSM-5 catalyzes the reaction of ethene with benzene to produce ethylbenzene. The correct statement for this catalytic process is
1. alkyl carbocation is formed
 2. carbanion is formed
 3. benzene is converted to $(\text{C}_6\text{H}_5)^+$ group
 4. vinyl radical is formed

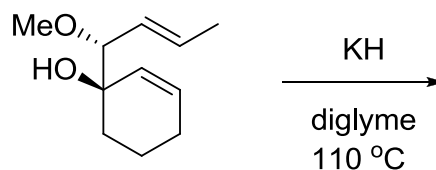
95. $[\text{CrF}_6]^{3-}$ के अवशोषण स्पेक्ट्रम में तीन इलेक्ट्रॉनिक संक्रमण 14900, 22700 तथा 34400 cm^{-1} पर प्रेक्षित होते हैं। Δ_0 मान (cm^{-1} में) तथा संगत संक्रमण हैं।

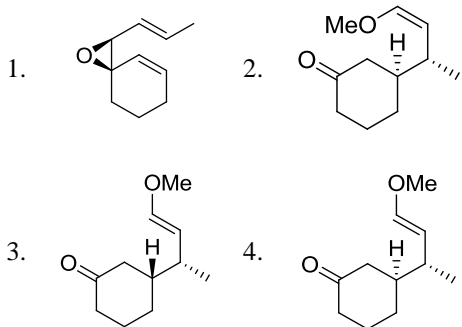
1. 7800 तथा ${}^4\text{A}_{2g} \rightarrow {}^4\text{T}_{2g}$
2. 14900 तथा ${}^4\text{A}_{2g} \rightarrow {}^4\text{T}_{2g}$
3. 14900 तथा ${}^4\text{T}_{2g} \rightarrow {}^4\text{T}_{1g}(\text{F})$
4. 7800 तथा ${}^4\text{T}_{2g} \rightarrow {}^4\text{T}_{1g}(\text{F})$

95. Three electronic transitions at 14900, 22700 and 34400 cm^{-1} are observed in the absorption spectrum of $[\text{CrF}_6]^{3-}$. The Δ_0 value (in cm^{-1}) and the corresponding transition are

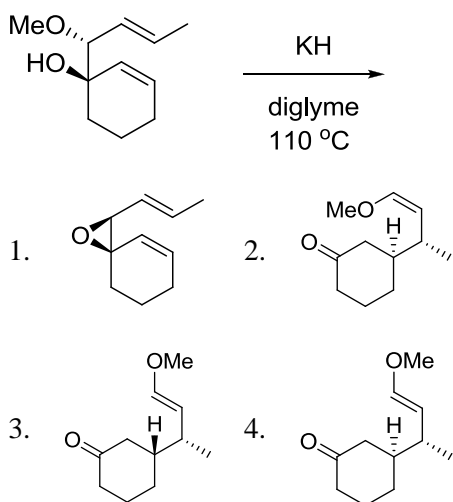
1. 7800 and ${}^4\text{A}_{2g} \rightarrow {}^4\text{T}_{2g}$
2. 14900 and ${}^4\text{A}_{2g} \rightarrow {}^4\text{T}_{2g}$
3. 14900 and ${}^4\text{T}_{2g} \rightarrow {}^4\text{T}_{1g}(\text{F})$
4. 7800 and ${}^4\text{T}_{2g} \rightarrow {}^4\text{T}_{1g}(\text{F})$

96. निम्नलिखित अभिक्रिया में उत्पन्न मुख्य उत्पाद है।

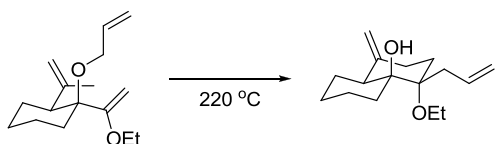




96. The major product formed in the following reaction is

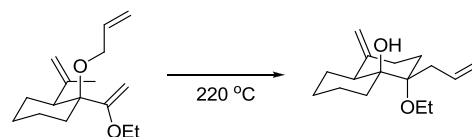


97. निम्नलिखित रूपान्तरण में सम्मिलित हैं क्रमिक रूप से



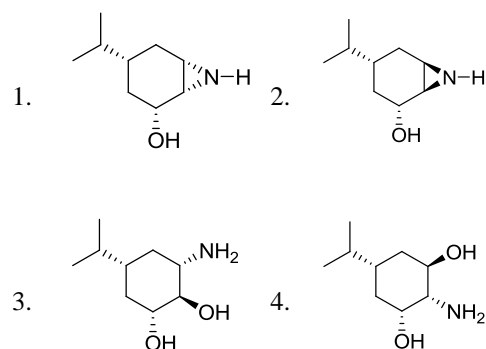
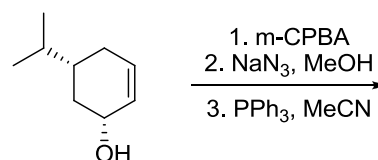
- क्लेजन पुनर्विन्यास – कोप पुनर्विन्यास – ईन अभिक्रिया
- कोप पुनर्विन्यास – क्लेजन पुनर्विन्यास – ईन अभिक्रिया
- कोप पुनर्विन्यास – ईन अभिक्रिया – क्लेजन पुनर्विन्यास
- ईन अभिक्रिया – क्लेजन पुनर्विन्यास – कोप पुनर्विन्यास

97. The following transformation involves sequential

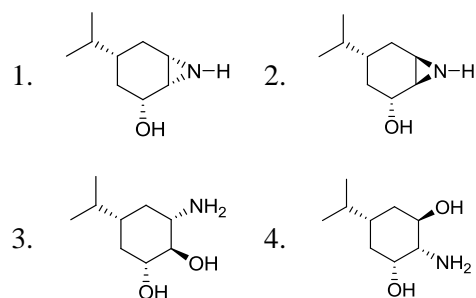
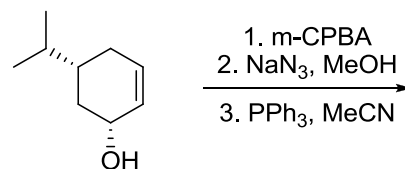


- Claisen rearrangement – Cope rearrangement – ene reaction
- Cope rearrangement – Claisen rearrangement – ene reaction
- Cope rearrangement – ene reaction – Claisen rearrangement
- ene reaction – Claisen rearrangement – Cope rearrangement

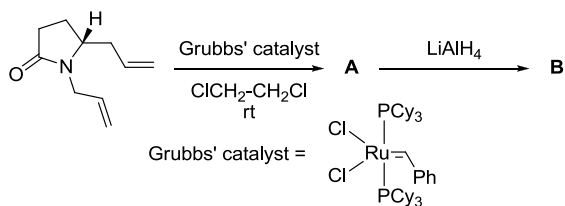
98. निम्नलिखित अभिक्रिया क्रम में उत्पन्न मुख्य उत्पाद है



98. The major product formed in the following reaction sequence is

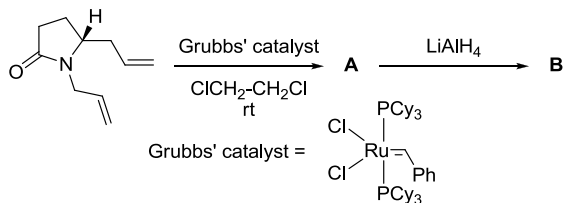


99. निम्नलिखित अभिक्रिया क्रम के मुख्य उत्पाद A तथा B हैं

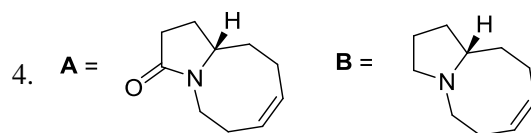


1. **A** = **B** =
2. **A** = **B** =
3. **A** = **B** =
4. **A** = **B** =

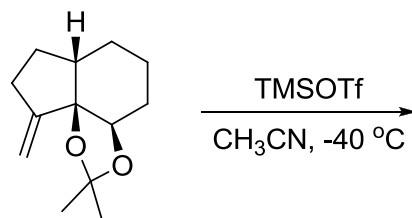
99. The major products **A** and **B** in the following reaction sequence are



1. **A** = **B** =
2. **A** = **B** =
3. **A** = **B** =

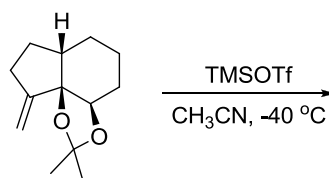


100. निम्नलिखित अभिक्रिया में उत्पन्न मुख्य उत्पाद है



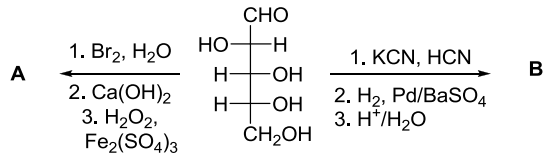
- 1.
- 2.
- 3.
- 4.

100. The major product formed in the following reaction is



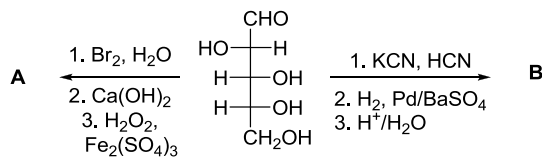
- 1.
- 2.
- 3.
- 4.

101. निम्नलिखित अभिक्रिया क्रमों के मुख्य उत्पाद **A** तथा **B** हैं।



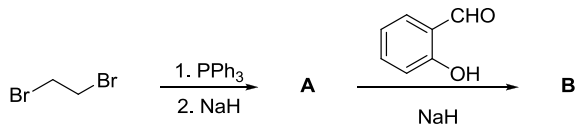
1. **A** = D-थ्रीओस; **B** = D-ग्लूकोस
2. **A** = D-एरिथ्रोस; **B** = D-ग्लूकोस + D-मैनोस
3. **A** = D-थ्रीओस; **B** = D-ग्लूकोस + D-मैनोस
4. **A** = D-टार्टरिक अम्ल; **B** = D-ग्लूकोस

101. The major products **A** and **B** in the following reaction sequences are



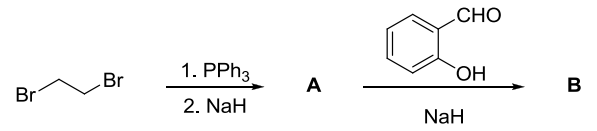
1. **A** = D-threose; **B** = D-glucose
2. **A** = D-erythrose; **B** = D-glucose + D-mannose
3. **A** = D-threose; **B** = D-glucose + D-mannose
4. **A** = D-tartaric acid; **B** = D-glucose

102. निम्नलिखित अभिक्रिया क्रम के मुख्य उत्पाद **A** तथा **B** हैं।



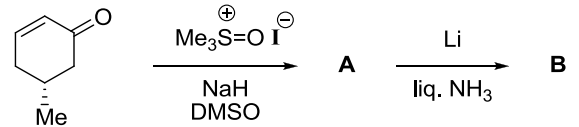
1. **A** = $\text{Br}^- \text{Ph}_3\text{P}^+$ **B** =
2. **A** = $\text{Ph}_3\text{P}=\text{CH}-\text{CH}_2-\text{PPh}_3$ **B** =
3. **A** = $\text{Ph}_3\text{P}=\text{CH}-\text{CH}_2-\text{PPh}_3$ **B** =
4. **A** = $\text{Br}^- \text{Ph}_3\text{P}^+$ **B** =

102. The major products **A** and **B** in the following reaction sequence are



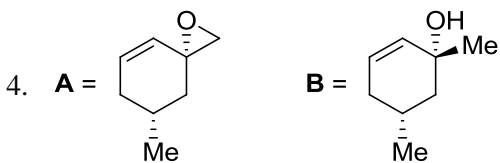
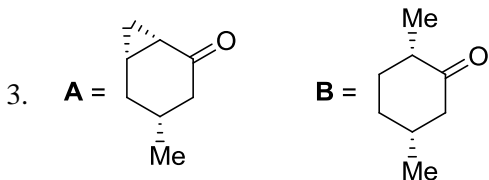
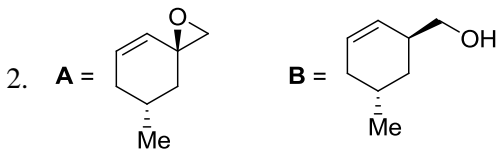
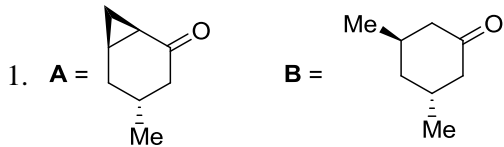
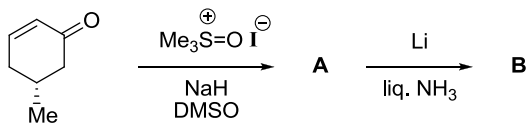
1. **A** = $\text{Br}^- \text{Ph}_3\text{P}^+$ **B** =
2. **A** = $\text{Ph}_3\text{P}=\text{CH}-\text{CH}_2-\text{PPh}_3$ **B** =
3. **A** = $\text{Ph}_3\text{P}=\text{CH}-\text{CH}_2-\text{PPh}_3$ **B** =
4. **A** = $\text{Br}^- \text{Ph}_3\text{P}^+$ **B** =

103. निम्नलिखित अभिक्रिया क्रम के मुख्य उत्पाद **A** तथा **B** हैं।

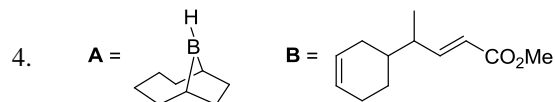
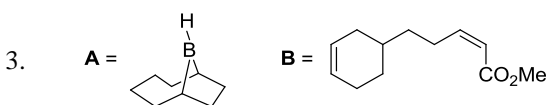
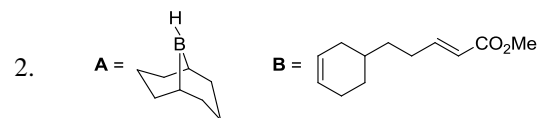
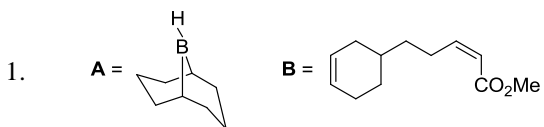
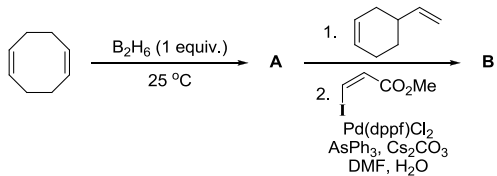


1. **A** = **B** =
2. **A** = **B** =
3. **A** = **B** =
4. **A** = **B** =

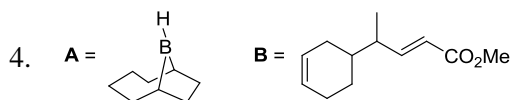
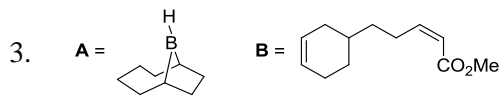
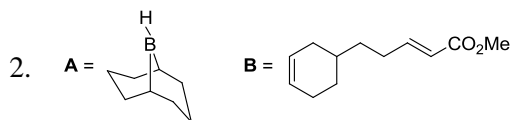
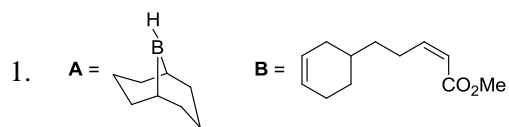
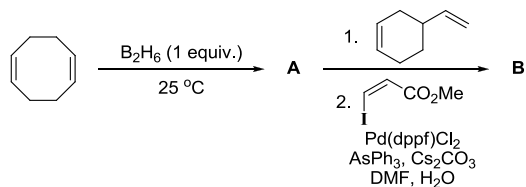
103. The major products **A** and **B** in the following reaction sequence are



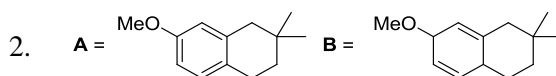
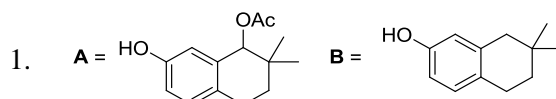
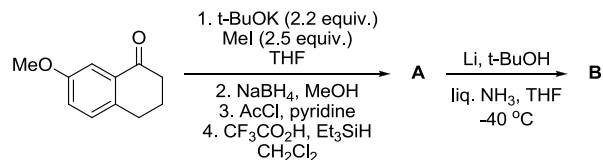
104. निम्नलिखित अभिक्रिया क्रम के मुख्य उत्पाद **A** तथा **B** हैं

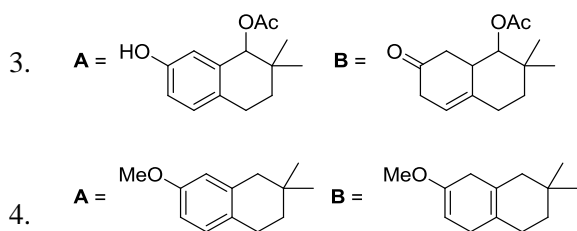


104. The major products **A** and **B** in the following reaction sequence are

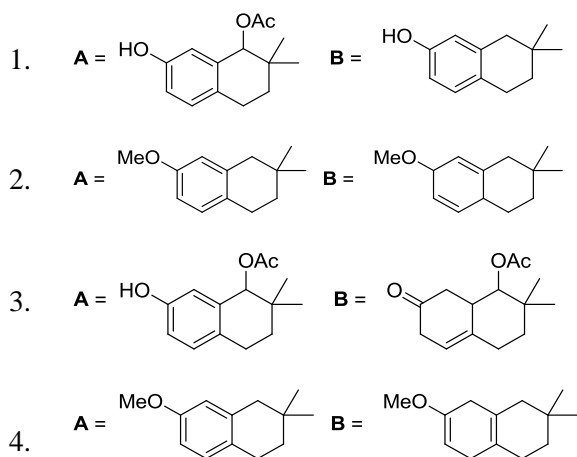
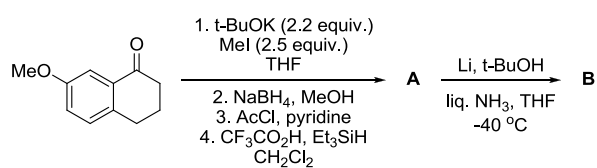


105. निम्नलिखित अभिक्रिया क्रम के मुख्य उत्पाद **A** तथा **B** हैं

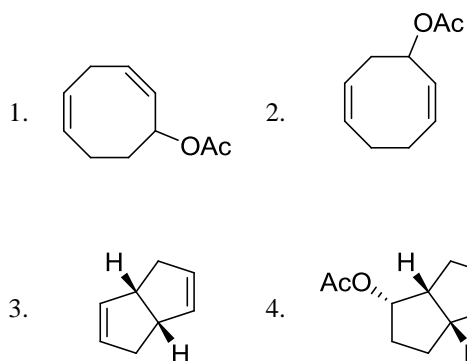
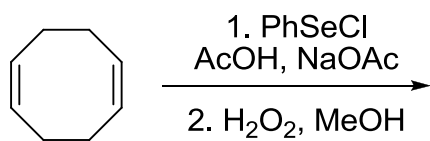




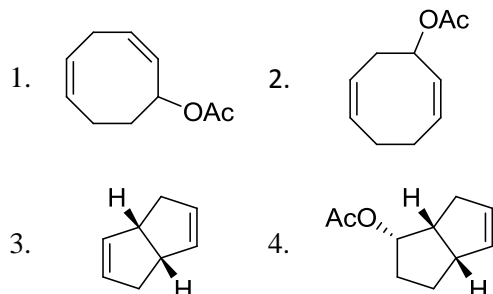
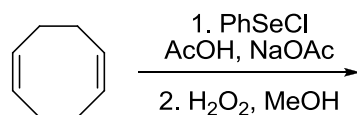
105. The major products **A** and **B** in the following reaction sequence are



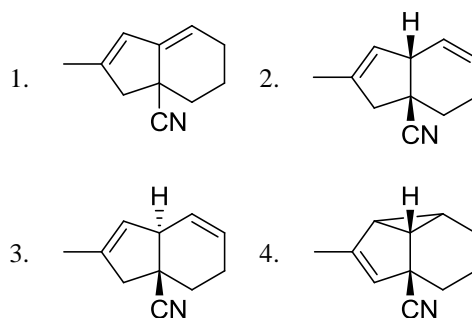
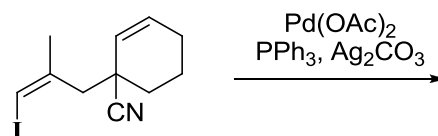
106. निम्नलिखित अभिक्रिया का मुख्य उत्पाद है



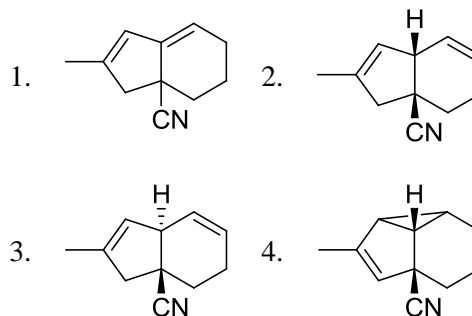
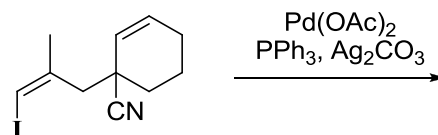
106. The major product formed in the following reaction is



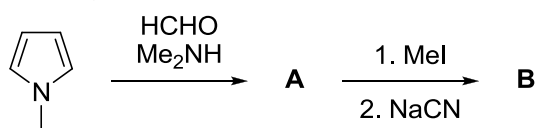
107. निम्नलिखित अभिक्रिया का मुख्य उत्पाद है।

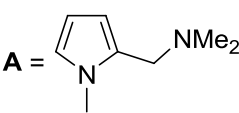
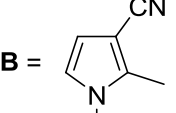
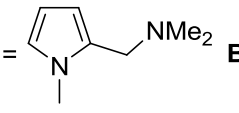
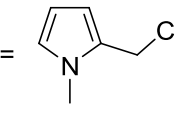
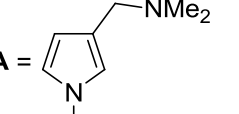
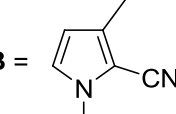
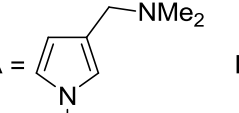
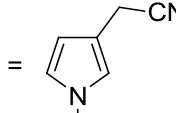


107. The major product formed in the following reaction is

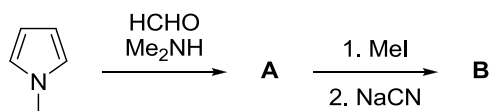


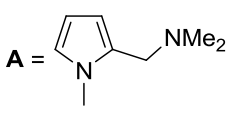
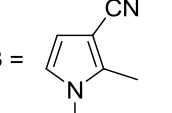
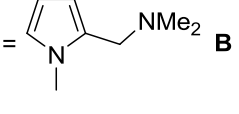
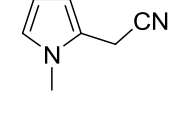
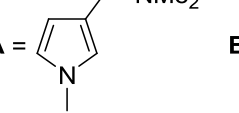
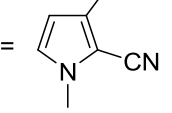
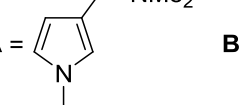
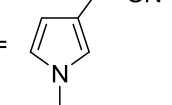
108. निम्नलिखित अभिक्रिया क्रम के मुख्य उत्पाद **A** तथा **B** हैं।



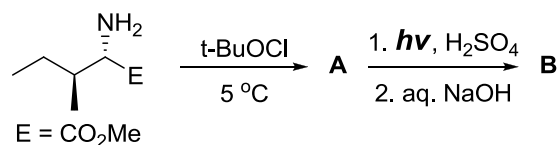
1. **A** =  **B** = 
2. **A** =  **B** = 
3. **A** =  **B** = 
4. **A** =  **B** = 

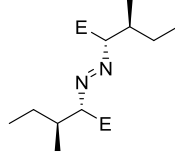
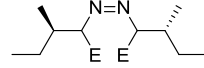
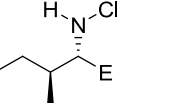
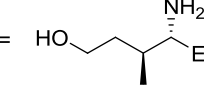
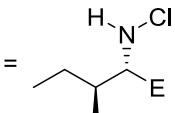
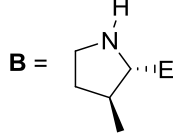
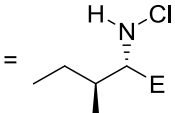
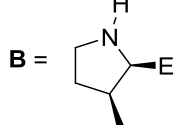
108. The major products **A** and **B** in the following reaction sequence are



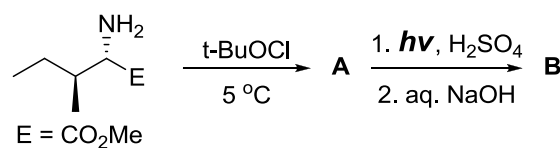
1. **A** =  **B** = 
2. **A** =  **B** = 
3. **A** =  **B** = 
4. **A** =  **B** = 

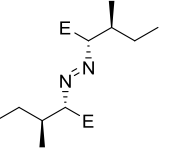
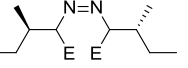
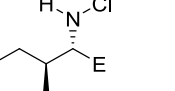
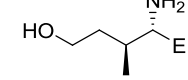
109. निम्नलिखित अभिक्रिया क्रम के मुख्य उत्पाद **A** तथा **B** हैं।

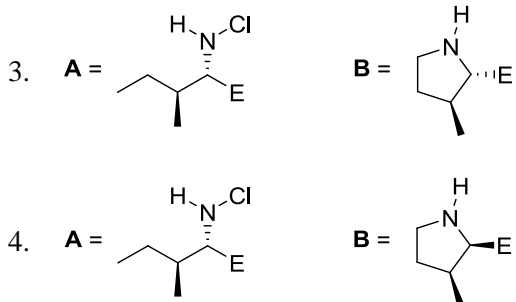


1. **A** =  **B** = 
2. **A** =  **B** = 
3. **A** =  **B** = 
4. **A** =  **B** = 

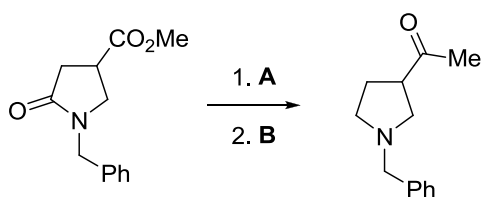
109. The major products **A** and **B** in the following reaction sequence are



1. **A** =  **B** = 
2. **A** =  **B** = 

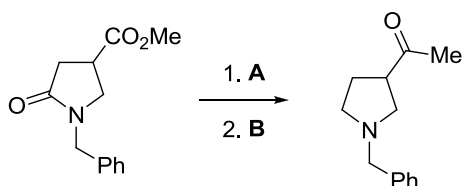


110. निम्नलिखित रूपान्तरण करने के लिए अभिकर्मकों का सही संयोग है।



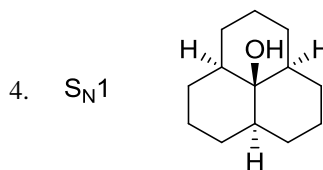
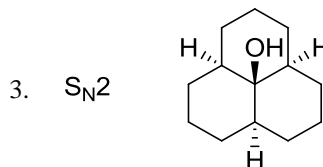
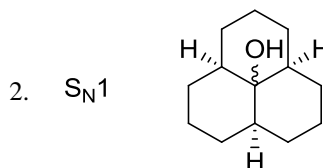
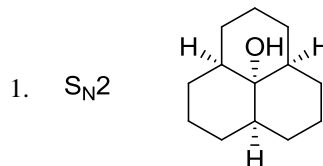
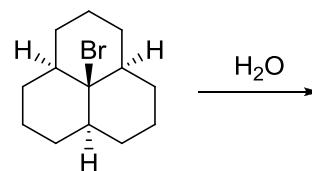
- A** = NaBH_4 , $\text{BF}_3 \cdot \text{OEt}_2$; **B** = MeMgBr (2.5 equiv.), THF तत्पश्चात् H_3O^+
- A** = $\text{BH}_3 \cdot \text{THF}$; **B** = MeLi (2.5 equiv.), THF तत्पश्चात् H_3O^+
- A** = $\text{BH}_3 \cdot \text{THF}$; **B** = (i) aq. NaOH then H_3O^+ , (ii) MeLi (2.5 equiv.), THF तत्पश्चात् H_3O^+
- A** = (i) Me_3Al , MeNHOMe , (ii) MeMgBr , THF तत्पश्चात् H_3O^+ ; **B** = LiAlH_4 , THF

110. The correct reagent combination to effect the following transformation is

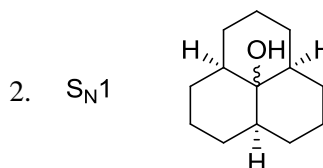
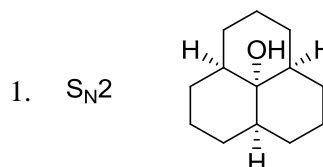
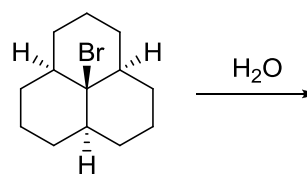


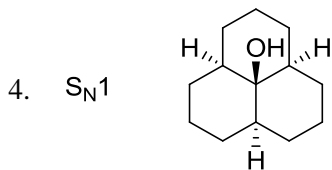
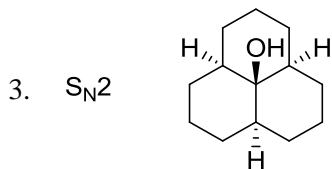
- A** = NaBH_4 , $\text{BF}_3 \cdot \text{OEt}_2$; **B** = MeMgBr (2.5 equiv.), THF then H_3O^+
- A** = $\text{BH}_3 \cdot \text{THF}$; **B** = MeLi (2.5 equiv.), THF then H_3O^+
- A** = $\text{BH}_3 \cdot \text{THF}$; **B** = (i) aq. NaOH then H_3O^+ , (ii) MeLi (2.5 equiv.), THF then H_3O^+
- A** = (i) Me_3Al , MeNHOMe , (ii) MeMgBr , THF then H_3O^+ ; **B** = LiAlH_4 , THF

111. निम्नलिखित अभिक्रिया की क्रिया विधि तथा मुख्य उत्पाद हैं, क्रमशः

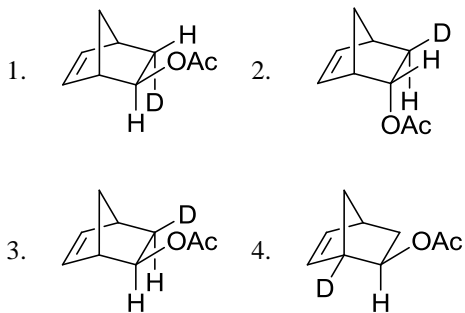
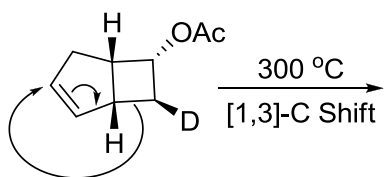


111. The mechanism and the product formed in the following reaction, respectively, are

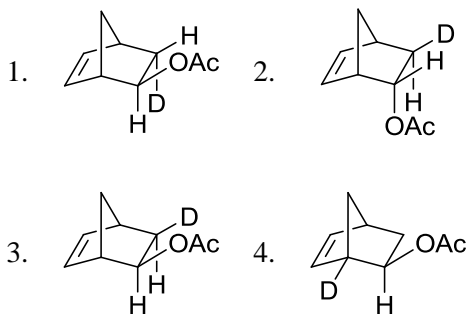
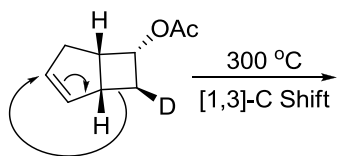




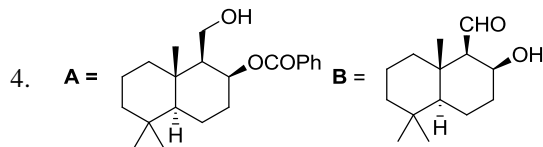
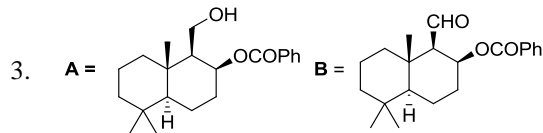
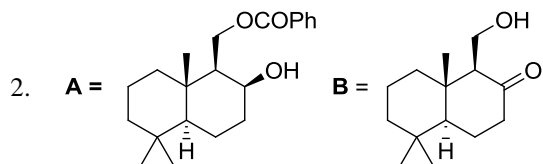
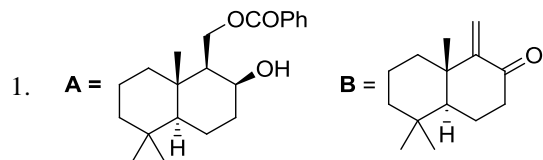
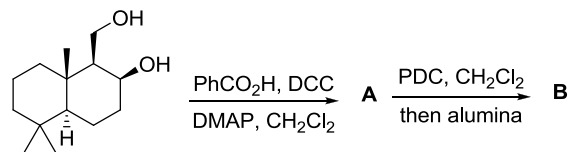
112. नीचे दर्शायी अभिक्रिया में संयुक्त [1,3]-सिग्माट्रॉपिक पुनर्विन्यास होता है। उत्पन्न उत्पाद की संरचना है



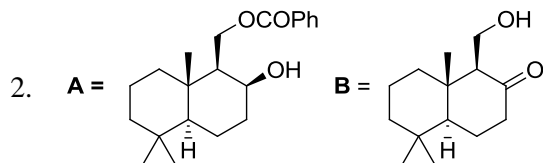
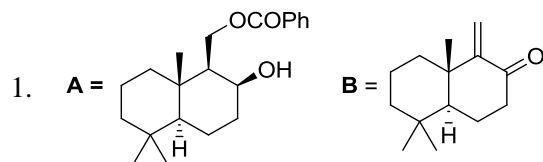
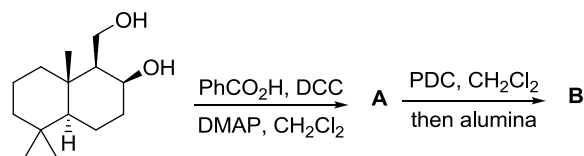
112. A concerted [1,3]-sigmatropic rearrangement took place in the reaction shown below. The structure of the resulting product is

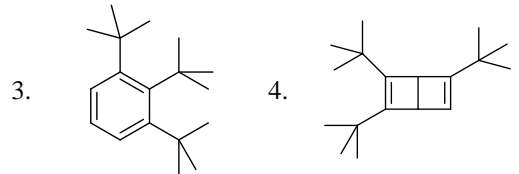
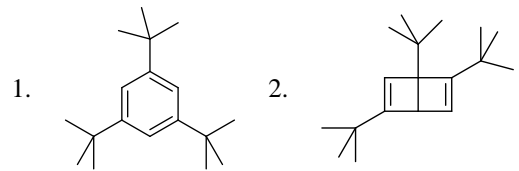
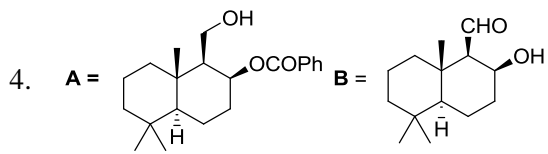
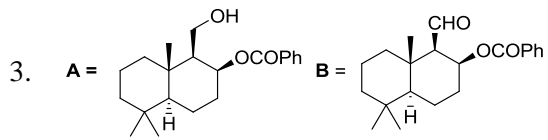


113. निम्नलिखित अभिक्रिया क्रम के मुख्य उत्पाद A तथा B हैं।

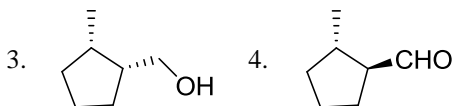
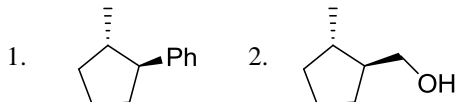
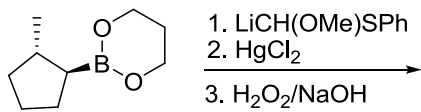


113. The major products A and B in the following reaction sequence are

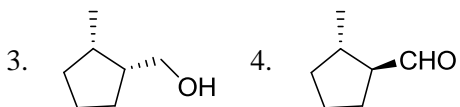
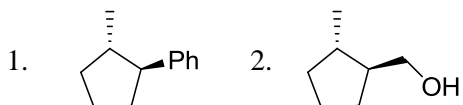
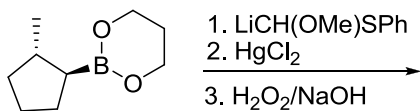




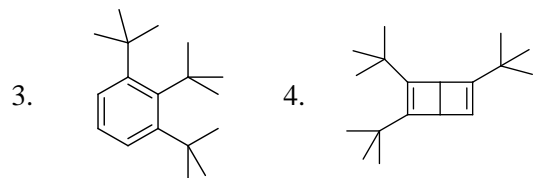
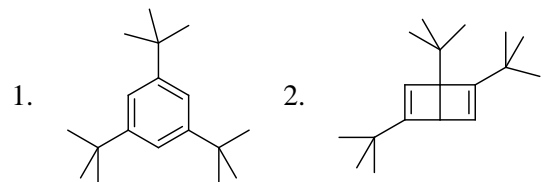
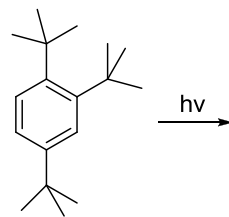
114. निम्नलिखित अभिक्रिया क्रम में उत्पन्न मुख्य उत्पाद है।



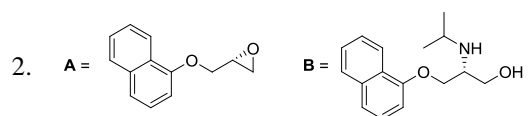
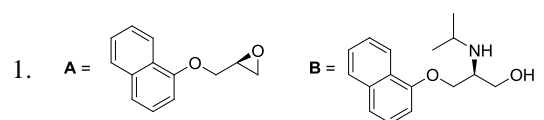
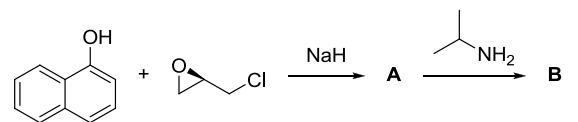
114. The major product formed in the following reaction sequence is



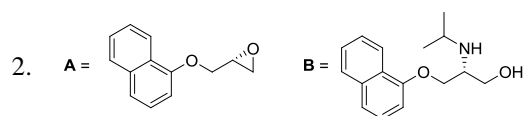
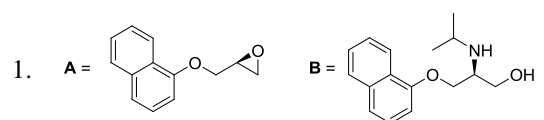
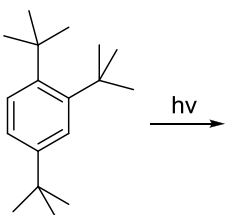
115. The major product formed in the following reaction is

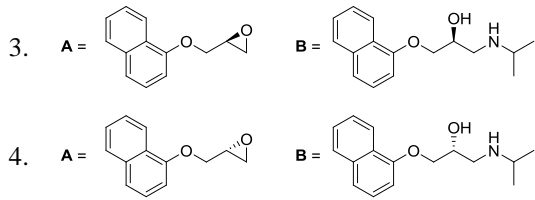


116. निम्नलिखित अभिक्रिया क्रम के मुख्य उत्पाद A तथा B हैं।

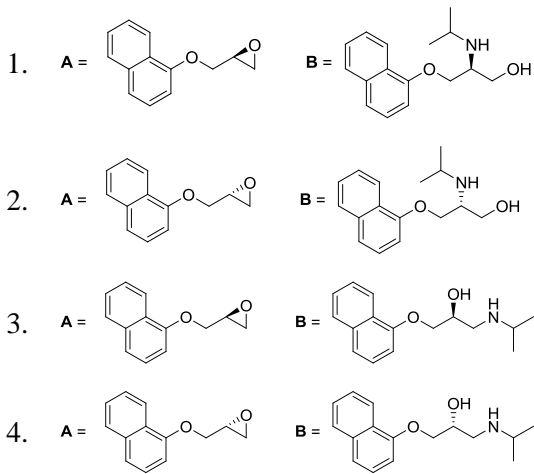
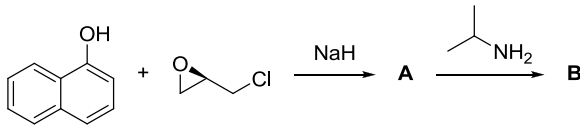


115. निम्नलिखित अभिक्रिया में उत्पन्न मुख्य उत्पाद है।

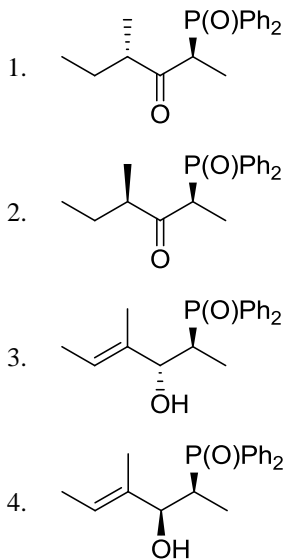
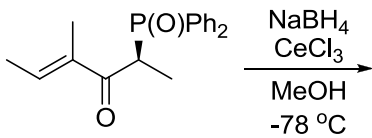




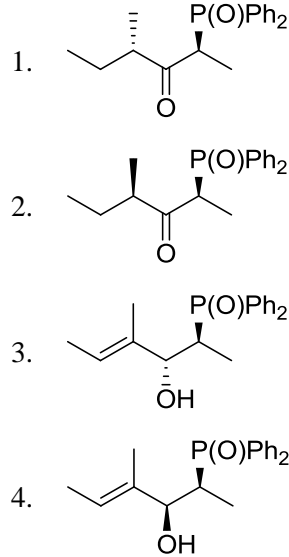
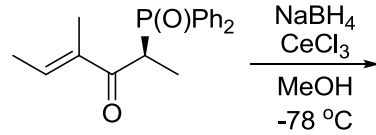
116. The major products **A** and **B** in the following reaction sequence are



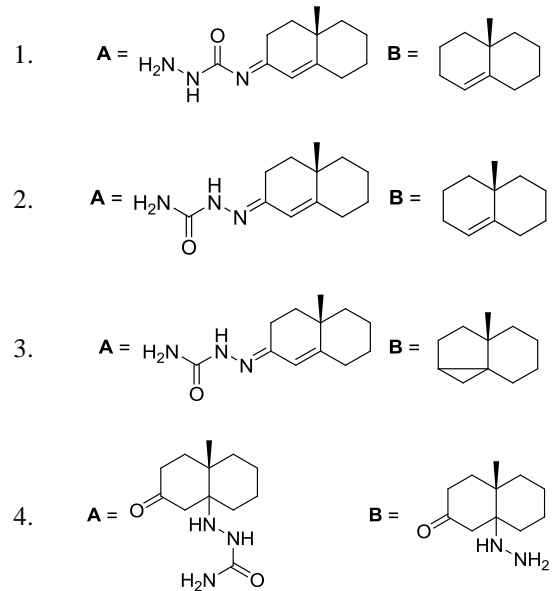
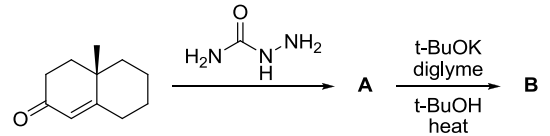
117. निम्नलिखित अभिक्रिया का मुख्य उत्पाद है।



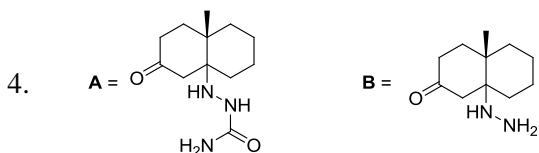
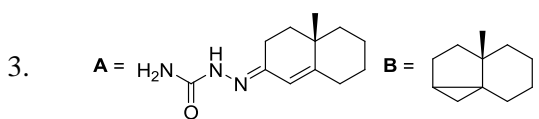
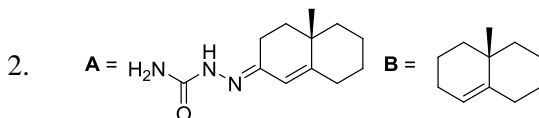
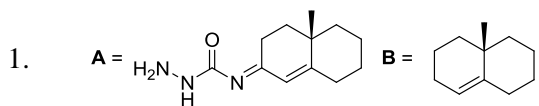
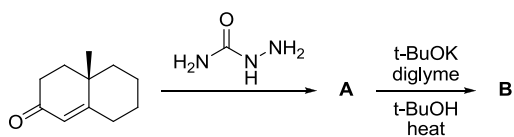
117. The major product of the following reaction is



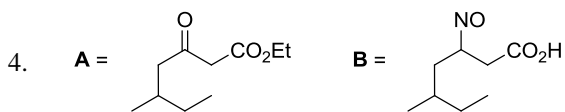
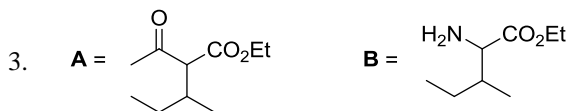
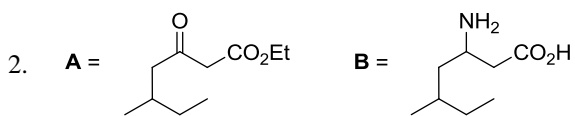
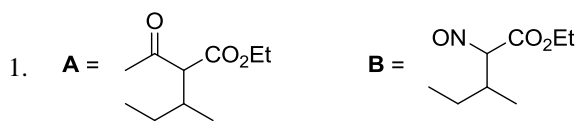
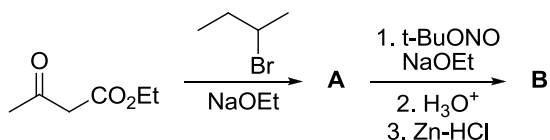
118. निम्नलिखित अभिक्रिया क्रम के मुख्य उत्पाद **A** तथा **B** हैं।



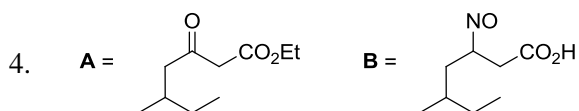
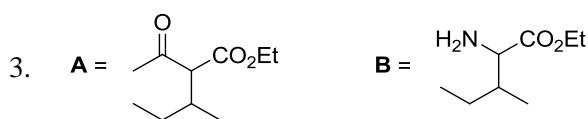
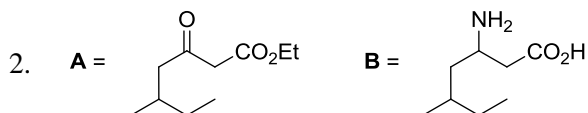
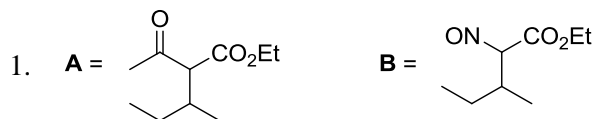
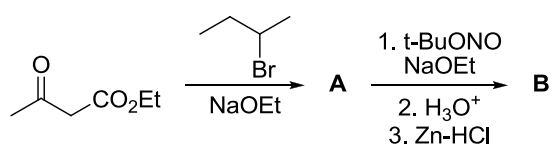
118. The major products **A** and **B** in the following reaction sequence are



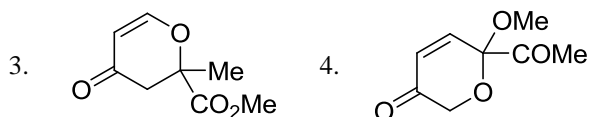
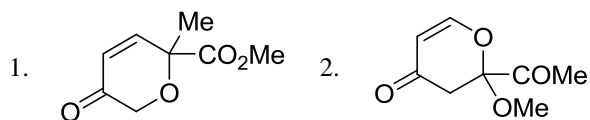
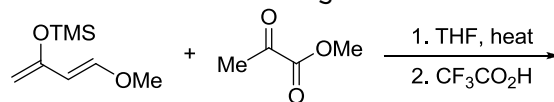
119. निम्नलिखित अभिक्रिया क्रम के मुख्य उत्पाद **A** तथा **B** हैं।



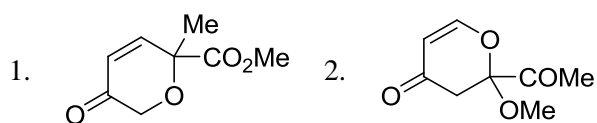
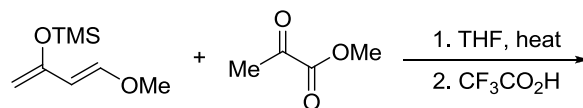
119. The major products **A** and **B** in the following reaction sequence are



120. निम्नलिखित अभिक्रिया का मुख्य उत्पाद है



120. The major product of the following reaction is



126. 1.0 T पर ^1H NMR आवृत्ति 42.4 MHz है। ^1H तथा ^{13}C के लिए यदि घूर्ण चुम्बकीय अनुपात क्रमशः 27×10^7 तथा $6.75 \times 10^7 \text{ T}^{-1}\text{s}^{-1}$, हो तो 1.0 T पर ^{13}C आवृत्ति क्या होगी?

1. 10.6 MHz
2. 169.6 MHz
3. 42.6 MHz
4. 21.3 MHz

126. The ^1H NMR frequency at 1.0 T is 42.4 MHz. If the gyromagnetic ratios of ^1H and ^{13}C are 27×10^7 and $6.75 \times 10^7 \text{ T}^{-1}\text{s}^{-1}$, respectively, what will be the ^{13}C frequency at 1.0 T?

1. 10.6 MHz
2. 169.6 MHz
3. 42.6 MHz
4. 21.3 MHz

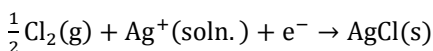
127. HCl तथा HNO_3 के मिश्रण के 10 mL ऐलिक्वोटों का चालकत्वमितितः अनुमापन 0.1M NaOH तथा 0.1M AgNO_3 से अलग-अलग किया गया है। अनुमाप-आयतन क्रमशः V_1 तथा V_2 mL हैं। मिश्रण में HNO_3 की सान्द्रता जिस संयोग से प्राप्त होगी, वह है

1. $V_1 - V_2$
2. $2V_1 - V_2$
3. $V_2 - V_1$
4. $2V_2 - V_1$

127. 10 mL aliquots of a mixture of HCl and HNO_3 are titrated conductometrically using a 0.1M NaOH and a 0.1M AgNO_3 separately. The titre volumes are V_1 and V_2 mL, respectively. The concentration of HNO_3 in the mixture is obtained from the combination

1. $V_1 - V_2$
2. $2V_1 - V_2$
3. $V_2 - V_1$
4. $2V_2 - V_1$

128. दिया है $E^0(\text{Cl}_2/\text{Cl}^-) = 1.35 \text{ V}$ तथा $K_{sp}(\text{AgCl}) = 10^{-10}$ at 25°C , E^0 जो इलेक्ट्रोड अभिक्रिया

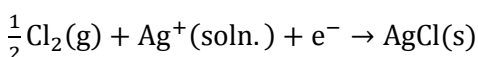


से संगत है, वह है।

1. 0.75 V
2. 1.05 V
3. 1.65 V
4. 1.95 V

$$\left[\frac{2.303 RT}{F} = 0.06V \right]$$

128. Given that $E^0(\text{Cl}_2/\text{Cl}^-) = 1.35 \text{ V}$ and $K_{sp}(\text{AgCl}) = 10^{-10}$ at 25°C , E^0 corresponding to the electrode reaction



is

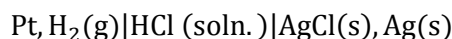
1. 0.75 V
2. 1.05 V
3. 1.65 V
4. 1.95 V

$$\left[\frac{2.303 RT}{F} = 0.06V \right]$$

129. सेल $\text{Pt}, \text{H}_2(\text{g})|\text{HCl}(\text{soln.})|\text{AgCl}(\text{s}), \text{Ag}(\text{s})$ का मानक EMF

1. T के साथ बढ़ता है।
2. T के साथ घटता है।
3. T से अपरिवर्तित रहता है।
4. $[\text{HCl}]$ के साथ घटता है।

129. The standard EMF of the cell



1. increases with T
2. decreases with T
3. remains unchanged with T
4. decreases with $[\text{HCl}]$

130. निम्नलिखित में से अणु जिसका घूर्णन नियतांक न्यूनतम है (माइक्रोवेव स्पेक्ट्रम में), वह है।

1. $\text{N} \equiv \text{CH}$
2. $\text{HC} \equiv \text{CCl}$
3. $\text{ClC} \equiv \text{CF}$
4. $\text{B} \equiv \text{CCl}$

130. The molecule with the smallest rotational constant (in the microwave spectrum) among the following is

1. $\text{N} \equiv \text{CH}$
2. $\text{HC} \equiv \text{CCl}$
3. $\text{ClC} \equiv \text{CF}$
4. $\text{B} \equiv \text{CCl}$

131. *trans*-1,2- डाइक्लोरोएथिलीन तथा *cis*-1,2- डाइक्लोरोएथिलीन में स्पष्ट भेद, बिना किसी संख्यात्मक परिकलन, जो स्पेक्ट्रमी तकनीक कर सकती है। वह है।

1. माइक्रोवेव स्पेक्ट्रमिकी
2. UV-दृश्य स्पेक्ट्रमिकी
3. X-किरण प्रकाशिक इलेक्ट्रॉन स्पेक्ट्रमिकी
4. γ -किरण स्पेक्ट्रमिकी

131. The spectroscopic technique that can distinguish unambiguously between *trans*-1,2-dichloroethylene and *cis*-1,2-dichloroethylene without any numerical calculation is

1. Microwave spectroscopy
2. UV-Visible spectroscopy
3. X-ray photoelectron spectroscopy
4. γ -ray spectroscopy

132. सभी इलेक्ट्रॉनों का उपयोग करके C_2 के लिए निम्नतम अवस्था इलेक्ट्रॉनिक विन्यास है
1. $\sigma_{1s}^2 \sigma_{1s}^{*2} \sigma_{2s}^2 \sigma_{2s}^{*2} \sigma_{2p}^2 \pi_{2p}^2$
 2. $\sigma_{1s}^2 \sigma_{1s}^{*2} \sigma_{2s}^2 \sigma_{2s}^{*2} \sigma_{2p}^2 \sigma_{2p}^{*2}$
 3. $\sigma_{1s}^2 \sigma_{1s}^{*2} \sigma_{2s}^2 \sigma_{2s}^{*2} \pi_{2p}^2 \sigma_{2p}^1 \sigma_{2p}^{*1}$
 4. $\sigma_{1s}^2 \sigma_{1s}^{*2} \sigma_{2s}^2 \sigma_{2s}^{*2} \pi_{2p}^4$
132. The ground state electronic configuration of C_2 using all electrons is
1. $\sigma_{1s}^2 \sigma_{1s}^{*2} \sigma_{2s}^2 \sigma_{2s}^{*2} \sigma_{2p}^2 \pi_{2p}^2$
 2. $\sigma_{1s}^2 \sigma_{1s}^{*2} \sigma_{2s}^2 \sigma_{2s}^{*2} \sigma_{2p}^2 \sigma_{2p}^{*2}$
 3. $\sigma_{1s}^2 \sigma_{1s}^{*2} \sigma_{2s}^2 \sigma_{2s}^{*2} \pi_{2p}^2 \sigma_{2p}^1 \sigma_{2p}^{*1}$
 4. $\sigma_{1s}^2 \sigma_{1s}^{*2} \sigma_{2s}^2 \sigma_{2s}^{*2} \pi_{2p}^4$
133. एक एन्जाइम उत्प्रेरित अभिक्रिया के लिए v_{max} तथा K_m , क्रमशः $2.0 \times 10^{-3} \text{ Ms}^{-1}$ तथा $1.0 \times 10^{-6} \text{ M}$ हैं। जब सबस्ट्रेट की सान्द्रता $1.0 \times 10^{-6} \text{ M}$ है तो अभिक्रिया दर है।
1. $3.0 \times 10^{-3} \text{ s}^{-1}$
 2. $1.0 \times 10^{-3} \text{ s}^{-1}$
 3. $2.0 \times 10^{-3} \text{ s}^{-1}$
 4. 0.5 s^{-1}
133. v_{max} and K_m for an enzyme catalyzed reaction are $2.0 \times 10^{-3} \text{ Ms}^{-1}$ and $1.0 \times 10^{-6} \text{ M}$, respectively. The rate of the reaction when the substrate concentration is $1.0 \times 10^{-6} \text{ M}$ is
1. $3.0 \times 10^{-3} \text{ s}^{-1}$
 2. $1.0 \times 10^{-3} \text{ s}^{-1}$
 3. $2.0 \times 10^{-3} \text{ s}^{-1}$
 4. 0.5 s^{-1}
134. लिन्डेमान क्रियाविधि का अनुसरण करने वाली एकाणुक गैस प्रावस्था अभिक्रिया $A \rightarrow$ उत्पाद के लिए प्रथम कोटि का दर नियतांक $p_A = 1 \text{ atm}$ पर 2.0 s^{-1} तथा $p_A = 2 \text{ atm}$ पर 4.0 s^{-1} है। सक्रियण पद के लिए दर नियतांक है।
1. $1.0 \text{ atm}^{-1} \text{ s}^{-1}$
 2. $2.0 \text{ atm}^{-1} \text{ s}^{-1}$
 3. $4.0 \text{ atm}^{-1} \text{ s}^{-1}$
 4. $8.0 \text{ atm}^{-1} \text{ s}^{-1}$
134. The first order rate constant for a unimolecular gas phase reaction $A \rightarrow$ products that follows Lindemann mechanism is 2.0 s^{-1} at $p_A = 1 \text{ atm}$ and 4.0 s^{-1} at $p_A = 2 \text{ atm}$. The rate constant for the activation step is
1. $1.0 \text{ atm}^{-1} \text{ s}^{-1}$
 2. $2.0 \text{ atm}^{-1} \text{ s}^{-1}$
 3. $4.0 \text{ atm}^{-1} \text{ s}^{-1}$
 4. $8.0 \text{ atm}^{-1} \text{ s}^{-1}$
135. डाइबोरेन अणु जिस सममिति बिन्दु समूह का है, वह है
1. C_{2v}
 2. C_{2h}
 3. D_{2d}
 4. D_{2h}
135. The molecule diborane belongs to the symmetry point group
1. C_{2v}
 2. C_{2h}
 3. D_{2d}
 4. D_{2h}
136. एक निकाय के ऊर्जा स्तरों में एक नियत विचलन, विभाजन फलन को परिवर्तित कर देता है। गुण जो अपरिवर्तित रहते हैं, वह हैं।
1. औसत ऊर्जा, एन्ट्रॉपी तथा उष्मा धारिता
 2. औसत ऊर्जा तथा एन्ट्रॉपी
 3. औसत ऊर्जा तथा उष्मा धारिता
 4. एन्ट्रॉपी तथा उष्मा धारिता
136. Though a constant shift of energy levels of a system changes the partition function, the properties that do not change are
1. average energy, entropy and heat capacity
 2. average energy and entropy
 3. average energy and heat capacity
 4. entropy and heat capacity
137. एक समन्युकलीय द्विपरमाणुक अणु की कंपन आवृत्ति ν है। प्रथम उत्तेजित अवस्था की पॉपयूलेशन जिस ताप पर निम्नतम अवस्था की पॉपयूलेशन की आधी होगी, उसको देता है।
1. $h\nu \cdot \ln 2 / k_B$
 2. $h\nu / (\ln 2 \cdot k_B)$
 3. $\ln 2 / (h\nu \cdot k_B)$
 4. $h\nu \cdot \log 2 / k_B$
137. The vibrational frequency of a homonuclear diatomic molecule is ν . The temperature at which the population of the first excited state will be half that of the ground state is given by
1. $h\nu \cdot \ln 2 / k_B$
 2. $h\nu / (\ln 2 \cdot k_B)$
 3. $\ln 2 / (h\nu \cdot k_B)$
 4. $h\nu \cdot \log 2 / k_B$
138. C_{2h} के अखंडनीय निरूपण हैं A_g, B_g, A_u तथा B_u । *trans*-1,3-ब्यूटेडाइन के रामन सक्रिय मोड जिन अखंडनीय निरूपणों में आते हैं, वह हैं
1. A_g तथा B_g
 2. A_g तथा A_u
 3. A_u तथा B_g
 4. B_g तथा B_u
138. The irreducible representations of C_{2h} are A_g, B_g, A_u and B_u . The Raman active modes of *trans*-1,3-butadiene belong to the irreducible representations
1. A_g and B_g
 2. A_g and A_u
 3. A_u and B_g
 4. B_g and B_u

139. निम्नलिखित में से सममिति अनुमत परमाणुक संक्रमण है।
- ${}^3F \rightarrow {}^1D$
 - ${}^3F \rightarrow {}^3D$
 - ${}^3F \rightarrow {}^1P$
 - ${}^3F \rightarrow {}^3P$
139. The symmetry-allowed atomic transition among the following is
- ${}^3F \rightarrow {}^1D$
 - ${}^3F \rightarrow {}^3D$
 - ${}^3F \rightarrow {}^1P$
 - ${}^3F \rightarrow {}^3P$
140. 10^6 एकलकों से बने रैनडॉम कुण्डली बहुलक के लिए एक छोर से दूसरे छोर की औसत दूरी (खंड लंबाई की इकाईयों में) है।
- 10^6
 - 10^5
 - 10^4
 - 10^3
140. The average end-to-end distance of a random coil polymer of 10^6 monomers (in units of segment length) is
- 10^6
 - 10^5
 - 10^4
 - 10^3
141. समतापीय अवस्था में 300 K पर एक आदर्श गैस के 1.0 mol का उत्क्रमणीय प्रसरण 1.0 L से 4.0 L तक किया है। इस प्रक्रम की ΔG है
- $300 R \cdot \ln 2$
 - $600 R \cdot \ln 2$
 - $-600 R \cdot \ln 2$
 - $-300 R \cdot \ln 2$
141. A reversible expansion of 1.0 mol of an ideal gas is carried out from 1.0 L to 4.0 L under isothermal condition at 300 K. ΔG for this process is
- $300 R \cdot \ln 2$
 - $600 R \cdot \ln 2$
 - $-600 R \cdot \ln 2$
 - $-300 R \cdot \ln 2$
142. ठोस A के वाष्प दाब की ताप पर निर्भरता का निरूपण $\log p = 10.0 - \frac{1800}{T}$, से कर सकते हैं तथा द्रव A के लिए $\log p = 8.0 - \frac{1400}{T}$ से कर सकते हैं A के त्रिक बिन्दु का ताप है।
- 200 K
 - 300 K
 - 400 K
 - 500 K
142. The temperature-dependence of the vapour pressure of solid A can be represented by $\log p = 10.0 - \frac{1800}{T}$, and that of liquid A by $\log p = 8.0 - \frac{1400}{T}$. The temperature of the triple point of A is
- 200 K
 - 300 K
 - 400 K
 - 500 K
143. निम्नलिखित में से कौन-सा अ-स्वतः प्रवर्तित प्रक्रम है
- 105°C पर अतितापित जल का 1 atm दाब पर वाष्पीकरण
 - गैस का निर्वात में प्रसरण
 - -10°C पर अतिशीतित जल का 1 atm दाब पर हिमीकरण
 - 1 atm दाब तथा 0°C पर जल का हिमीकरण
143. The non-spontaneous process among the following is
- vapourisation of superheated water at 105°C and 1 atm pressure
 - expansion of a gas into vacuum
 - freezing of supercooled water at -10°C and 1 atm pressure
 - freezing of water at 0°C and 1 atm pressure
144. $r(\alpha - r)^{-\beta r}$ हाइड्रोजन के तरंग फलन के रेडियल भाग को देता है (α, β नियतांक हैं)। जिस रूप में इस फलन को पहचान सकते हैं, वह है
- 2s
 - 3p
 - 4d
 - 5f
144. The radial part of a hydrogenic wave function is given as $r(\alpha - r)^{-\beta r}$ (α, β are constants). This function is then identifiable as
- 2s
 - 3p
 - 4d
 - 5f
145. एक प्रसामान्यीकृत अवस्था ϕ का निर्माण किसी सरल आवर्ती दोलक की निम्नतम अवस्था (ψ_0) तथा प्रथम उत्तेजित अवस्था (ψ_1), जिनकी ऊर्जायें क्रमशः $1/2$ तथा $3/2$ इकाई हैं, के एकघात संचय से किया गया है। यदि अवस्था ϕ की औसत ऊर्जा $7/6$ हो तो ψ_0 की ϕ में मिलने की प्रायिकता है।
- $1/2$
 - $1/3$
 - $1/4$
 - $1/5$
145. A normalized state ϕ is constructed as a linear combination of the ground state (ψ_0) and the first excited state (ψ_1) of some harmonic oscillator with energies $1/2$ and $3/2$ units, respectively. If the average energy of the state ϕ is $7/6$, the probability of finding ψ_0 in ϕ will be
- $1/2$
 - $1/3$
 - $1/4$
 - $1/5$



